

12. Internationale EIKE Klima- und  
Energiekonferenz, IKEK-12  
23.-24. November 2018,

NH München Ost Conference Center  
Freitag, 23. November 17h00

# Elf Tatsachen die man wissen muss, um nicht an den menschengemachten Klimawandel zu glauben

[camille.veyres@polytechnique.org](mailto:camille.veyres@polytechnique.org)

(Tatsachen 1 bis 7 : Kohlenstoffkreislauf, “carbon cycle” )

mathematisch nachgewiesen : Der  $\text{CO}_2$  Gehalt in der Luft  $[\text{CO}_2](t)$  is eine Folge und  
Auswirkung der Temperaturen  $d[\text{CO}_2](t) / dt = a AT(t) + b$  und deswegen kann nicht deren  
Ursache sein

(Tatsachen 8 bis 11 entlarven den Mythos “greenhouse effect”)

Treibhauseffekt existiert NUR in VAKUUM

Auf der Erde ist Treibhauseffekt unmöglich weil **Wasserdampf** (1) ein heat pipe (**Wärmerohr**)  
zwischen Erdoberfläche und höhere Troposphäre ist & (2) **undurchlässig für thermal IR** ist  
Die polytrope Beziehung  $T \sim P^a$  bestimmt die Temperaturen der Troposphäre auf der Erde & auf  
der Venus. Die **Menge Wasserdampf in der Nähe von 300 mbar** steuert die Infrarotstrahlung  
der Erde

Betrüge und Fälschungen werden enttarnt und nachgewiesen

RESTORING THE QUALITY  
OF  
OUR ENVIRONMENT

Erster Bericht von falschen « climate science »  
zur Beschuldigung der Fossilbrennstoffe

November 1965



Subpanel Reports	Page
Y1. Soil Contamination.....	74
Y2. Health Effects of Environmental Pollution.....	91
Y3. Benchmark Surveillance.....	102
Y4. Atmospheric Carbon Dioxide.....	111
Y5. Solid Wastes.....	134
Y6. Combined Sewers.....	157
Y7. Effects of Chlorinating Wastes.....	168
Y8. Agricultural Wastes.....	170
Y9. Aquatic Blooms.....	173
Y10. Effects of Pollutants on Living Organisms Other Than Man.....	192
Y11. Improved Pest Control Practices.....	227

<http://climateandcapitalism.com/wp-content/uploads/sites/2/2014/06/Presidents-Advisory-Report-on-warming-1965.pdf>

Environmental Pollution Panel

APPENDIX 14

**Behauptungen :**

**(1) 50% of fossil fuel CO<sub>2</sub> remains forever in the air**

**(2) CO<sub>2</sub>... like the glass in a greenhouse raises the temperature of the lower air**

President's Science Advisory Committee

THE WHITE HOUSE

NOVEMBER 1965

Atmospheric Carbon Dioxide

ROGER REVELLE, *Chairman*

WALLACE BROECKER

C. D. KEELING

HARMON CRAIG

J. SMAGORINSKY

Section I. CARBON DIOXIDE FROM FOSSIL  
FUELS—THE INVISIBLE POLLUTANT

INTRODUCTION

The climatic changes that may be produced by the increased CO<sub>2</sub> content could be deleterious from the point of view of human beings.

Giga ton carbon = Gt-C = billion tons

1 ppm in der Luft = 2,12 Gt-C



Vegetation  
500 Gt-C

Böden 2000 Gt-C

90 Gt-C/year

Fossil fuels  
10 Gt-C/Jahr  
(Kumulativ seit 1751 : 430)



Atmosphäre 860 Gt-C  
406 ppm



80 Gt-C/Jahr



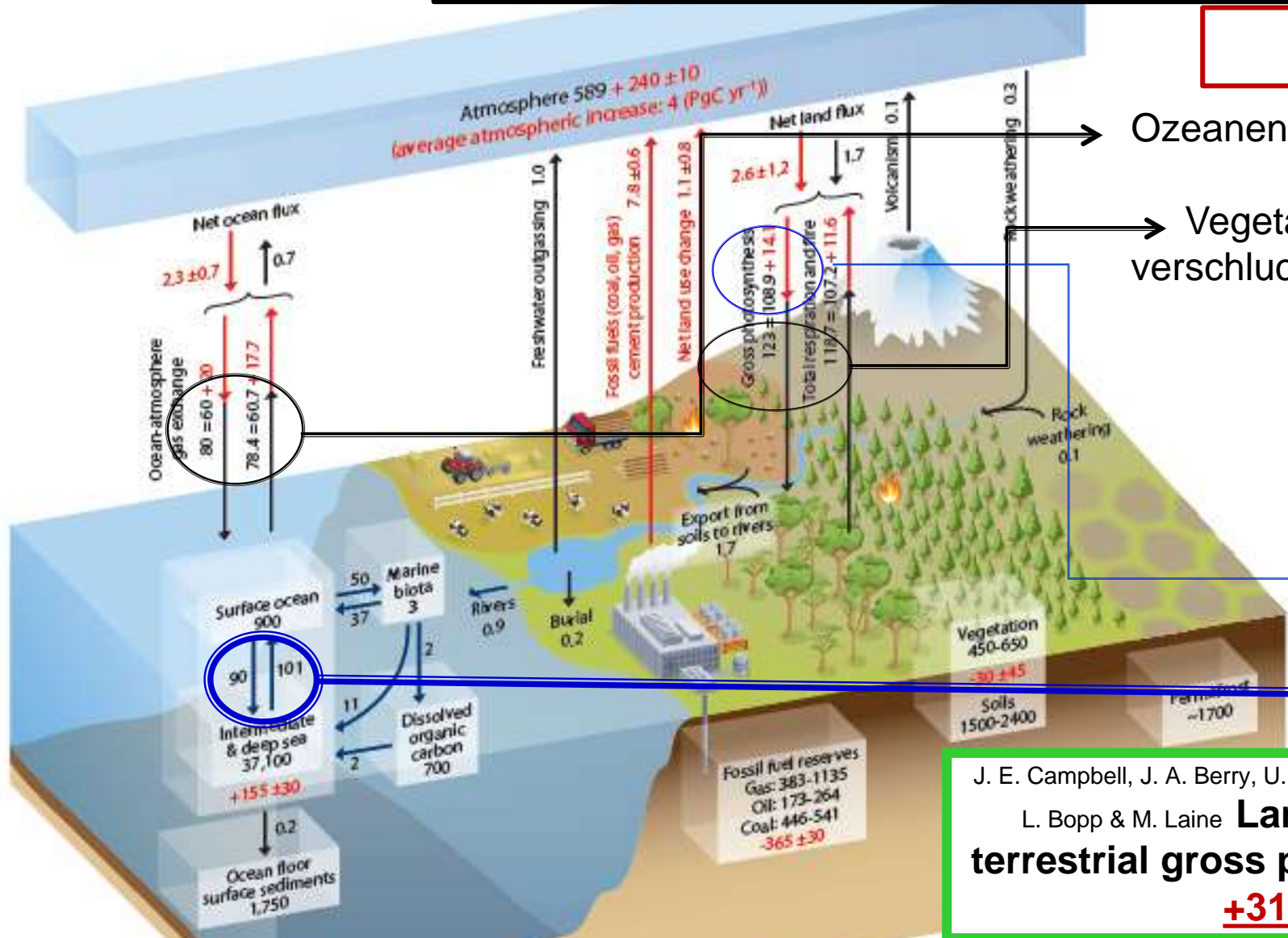
Ozeanen  
39 000 Gt-C



$(90 + 80) = 850 / 5$   
1/5 der CO2 der Luft wird jedes Jahr erneuert

IPCC (figure 6-1, page 471)

# Kumulative Fossilbrennstoffemissionen seit 1751 = 430 Gt-C = ein Prozent des Kohlenstoffs der in Ozeanen Luft Böden und Vegetation kreist



$$(80 + 90) = 850 / 5$$

Ozeanen absorbieren **80 Gt-C/year**  
 Vegetation (Tägliche Atmung ignoriert) verschluckt  $(3/4)123 = 90 \text{ Gt-C/year}$

Ozeanen	39 000 Gt-C
Böden	2 000 Gt-C
Vegetation	500 Gt-C
Luft	860 Gt-C (2017)

**Wirklichkeit: 95 + 28 weil +31% über den XX<sup>ten</sup> Jahrhundert**

**Wirklichkeit: 3 Male mehr**

J. E. Campbell, J. A. Berry, U. Seibt, S. J. Smith, S. A. Montzka, T. Launois, S. Belviso, L. Bopp & M. Laine **Large historical growth in global terrestrial gross primary production** <http://www.nature.com/>  
**+31% over 1900 - 1999**

# Tricks und Betrüge : Revelle (1965), Bolin (1960), IPCC ließen Tiefozeanen und Böden verschwinden !



Vegetation  
**500 Gt-C**

**Tiefozeanen und Böden verschwanden !  
Damit können Revelle and IPCC sagen: *50% of the fossil fuel emissions remain in the air ... forever***

**Fossil fuels**

**1,6 Gt-C/Jahr (1950)**

**9,6 Gt-C/Jahr (2018)**

**(Kumulativ seit 1751 : 430)**



Atmosphäre **667 Gt-C (1958)**  
860 Gt-C (2018)



Thin layer Surface Ocean isolated



Im Ozean: **Dissolved Inorganic Carbon DIC** =  $\text{CO}_2$  (1%),  $\text{HCO}_3^-$  (90%),  $\text{CO}_3^{2-}$  (9%) mit  $\text{Ca CO}_3$

Seewasser  $p_{\text{CO}_2}$  wächst 3,6 mal wenn Temperatur wächst von  $-1,5^\circ\text{C}$  bis  $30^\circ\text{C}$

**Tatsache  
1**

Dissolved Inorganic Carbon <b>DIC</b> $\mu\text{mole/kg}$	2000	2100	2000	2100	2000	2100
Temperatur $^\circ\text{C}$	0 $^\circ\text{C}$	0 $^\circ\text{C}$	15 $^\circ\text{C}$	15 $^\circ\text{C}$	30 $^\circ\text{C}$	30 $^\circ\text{C}$
$p_{\text{CO}_2}$ Seewasser $\mu\text{atm}$	129	217	251	419	464	763
$\text{CO}_2 \text{ aq}$ $\mu\text{mol/kg}$	8,1	13,7	9,4	15,7	11,6	19,2
$\text{HCO}_3^-$ $\mu\text{mol/kg}$	1789	1938	1775	1931	1967	1921
$\text{CO}_3^{2-}$ $\mu\text{mol/kg}$	211	148	217	154	222	160
pH	8,46	8,27	8,22	8,03	7,99	7,81

400  $\mu\text{atm}$  =  
1972  $\mu\text{mole/kg}$   
@30 $^\circ\text{C}$   
&  
2224  $\mu\text{mole/kg}$   
@0 $^\circ\text{C}$

$$p_{\text{CO}_2 \text{ Seewasser}} (\mu\text{atm}) = 250 \left( \text{DIC} / 2000 \right)^{10.5} \left( T / 288.15 \right)^{12.2}$$

Sehr, sehr nichtlinear !

Ausgasen: Seewasser  $\rightarrow$  Luft  $\approx \alpha (p_{\text{CO}_2 \text{ Seewasser}} - p_{\text{CO}_2 \text{ Luft}})$

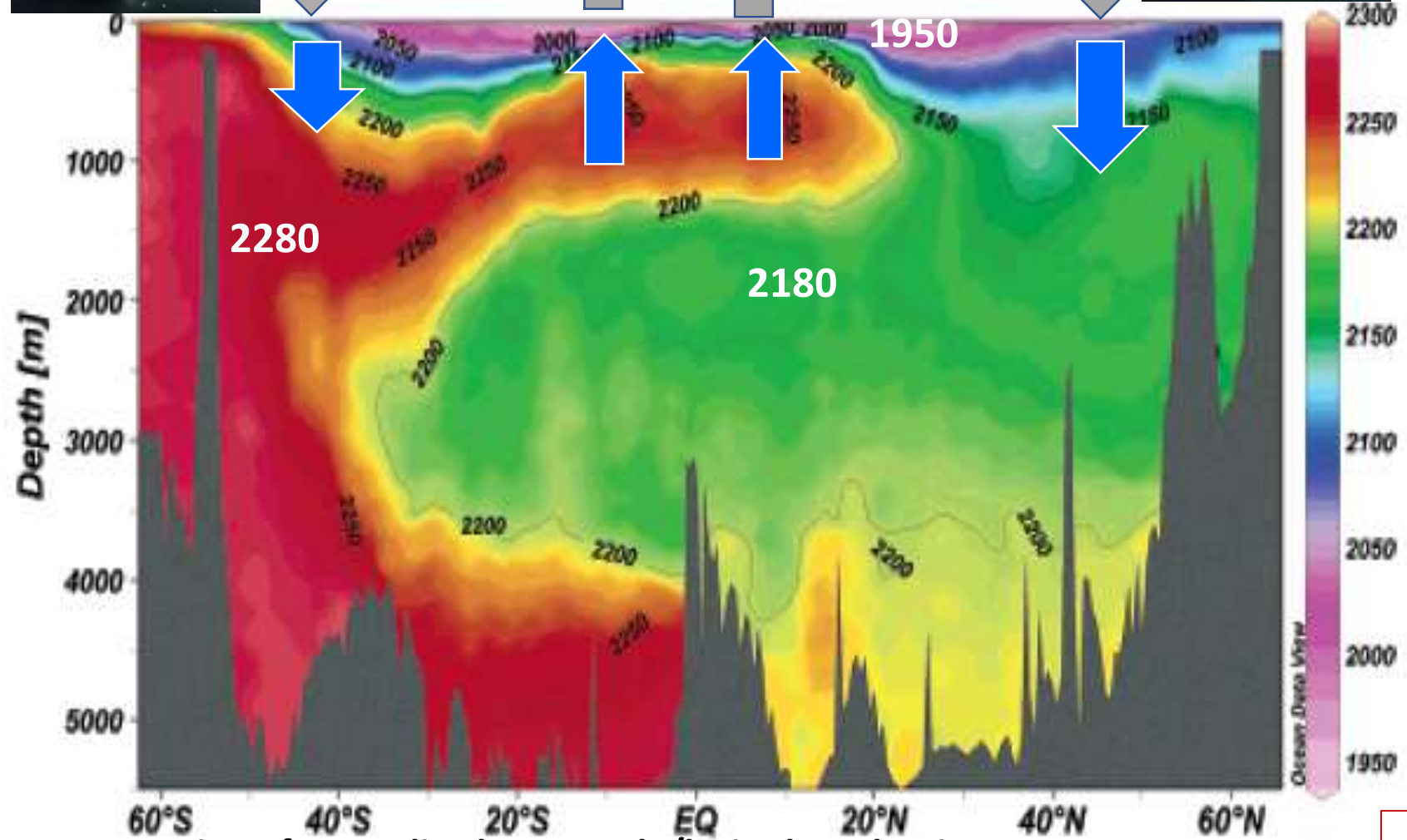
Beispiel :  $p_{\text{CO}_2 \text{ Seewasser}} = 500$ ;  $p_{\text{CO}_2 \text{ luft}} = 400$  **+1 $^\circ\text{C}$**   $\rightarrow$  **+4%** für  $p_{\text{CO}_2 \text{ Seewasser}}$   
Ausgasen wächst **20%** zwischen  $(500 - 400) \alpha = 100 \alpha$  und  $(500 \times 1,04 - 400) \alpha = 120 \alpha$

**Tatsache 1: Kohlenstoff in Ozeanen DIC  $\mu\text{mole/kg}$**



Luft <-> Oberschicht

Oberschicht <-> Tiefozean



400  $\mu\text{atm}$  =  
 1972  $\mu\text{mole/kg}$  @30°C  
 2224  $\mu\text{mole/kg}$  @0°C

A section of normalized DIC  $\mu\text{mole/kg}$  in the Atlantic Ocean  
 figure 20 of Millero, Chemical Reviews, 2007, Vol. 107, No. 2

$$P_{\text{CO}_2 \text{ Seewasser}}(\mu\text{atm}) = 250 \left( \text{DIC} / 2000 \right)^{10.5} \left( T / 288.15 \right)^{12.2}$$

$$p_{\text{CO}_2 \text{ sea water}}(\mu\text{atm}) = 250 \left(\text{DIC} / 2000\right)^{10.5} \left(T / 288.15\right)^{12.2}$$

**Tricks eins**

**Bolin (1960), Revelle (1965) und IPCC :**

**Revelle's Beziehung oder buffer factor:**

$$dp_{\text{CO}_2} / p_{\text{CO}_2} = 10.5 d\text{DIC} / \text{DIC}$$

$$p_{\text{CO}_2 \text{ sea water}}(\mu\text{atm}) = A \left(\text{DIC} / 2000\right)^{10.5}$$

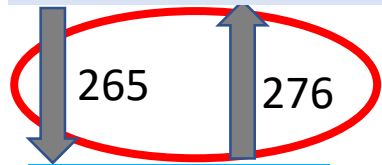
**Temperatureinfluss  $T^{12.2}$  ist verschwunden !**



**Tatsache 2:**

Gt-C/Jahr

Surface ozean



Tiefozean

**Tatsache 2:** Marina Levy et al. (2013) ... climatological physical fluxes of dissolved inorganic carbon (DIC) are two orders of magnitude larger than the other carbon fluxes ...

At **temperate latitudes**, the **subduction of DIC** and to a much lesser extent (<10%) the sinking of particles **maintain CO<sub>2</sub> undersaturation**, whereas

**DIC is obducted back to the surface in the tropical band (75%) and Southern Ocean (25%).**

At the global scale, these two large counter-balancing fluxes of DIC amount to **+275.5 Gt-C /yr** for the **supply by obduction** and **-264.5 Gt-C/ yr** for the **removal by subduction** which is **3 to 5 times larger than previous estimates.**“

M. Levy, L. Bopp, P. Karleskind, L. Resplandy, C. Ethe,

and F. Pinsard (2013), *Physical pathways for carbon transfers between the surface mixed layer and the ocean interior*, *Global Biogeochem. Cycles*, 27, 1001–1012, doi:10.1002/gbc.20092

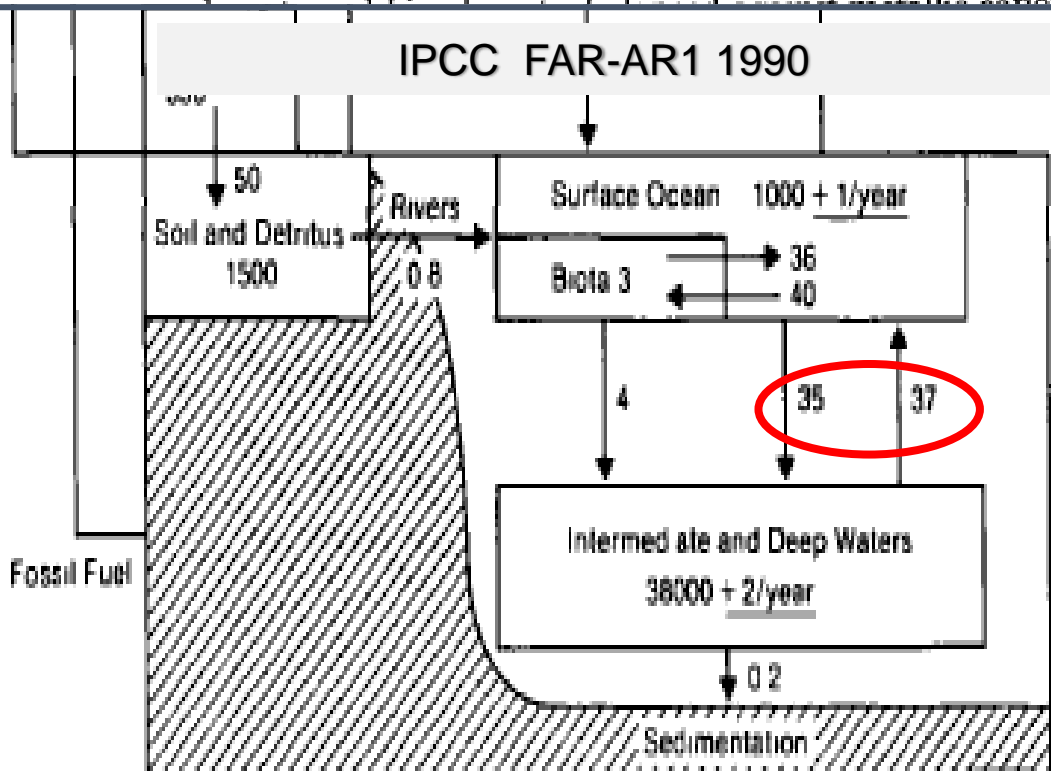
# Tricks zwei Beweismaterial für die Betrüge von Roger Revelle (1965) und von IPCC

Die stetige Erneuerung des Kohlenstoffs der Ozeanoberfläche ist verschwunden!

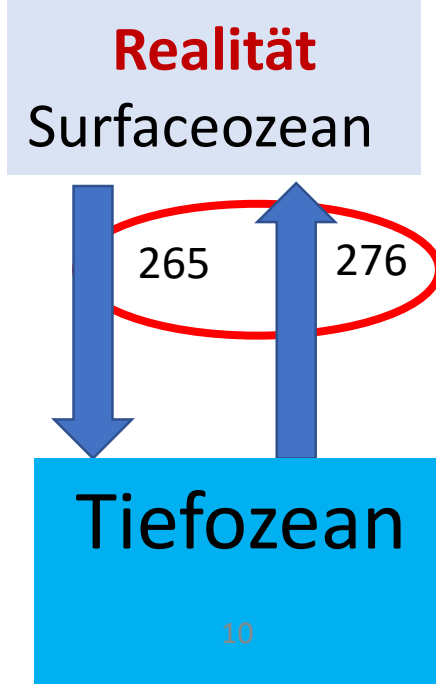
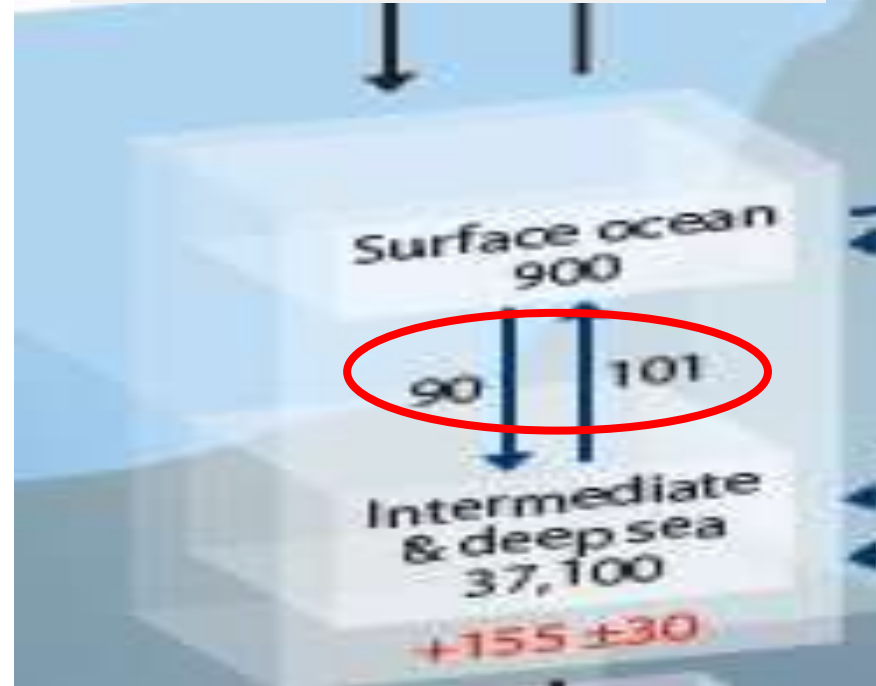
the usual scientific belief has been that by far the larger part of any added CO<sub>2</sub> would be absorbed in the ocean. This is undoubtedly true if we consider a sufficiently long time period, of the order of thousands or even, perhaps, hundreds of years, because the ocean as a whole contains nearly sixty times as much carbon dioxide as the atmosphere. But over shorter times, only the uppermost layers of the ocean take part in exchanges with the air. Moreover, most of the oceanic carbon dioxide is

past 500 million years. The CO<sub>2</sub> produced by this combustion is being injected into the atmosphere; about half of it remains there. The estimated recoverable reserves of fossil fuels are sufficient to produce nearly a 200% increase in the carbon dioxide content of the atmosphere.

IPCC FAR-AR1 1990



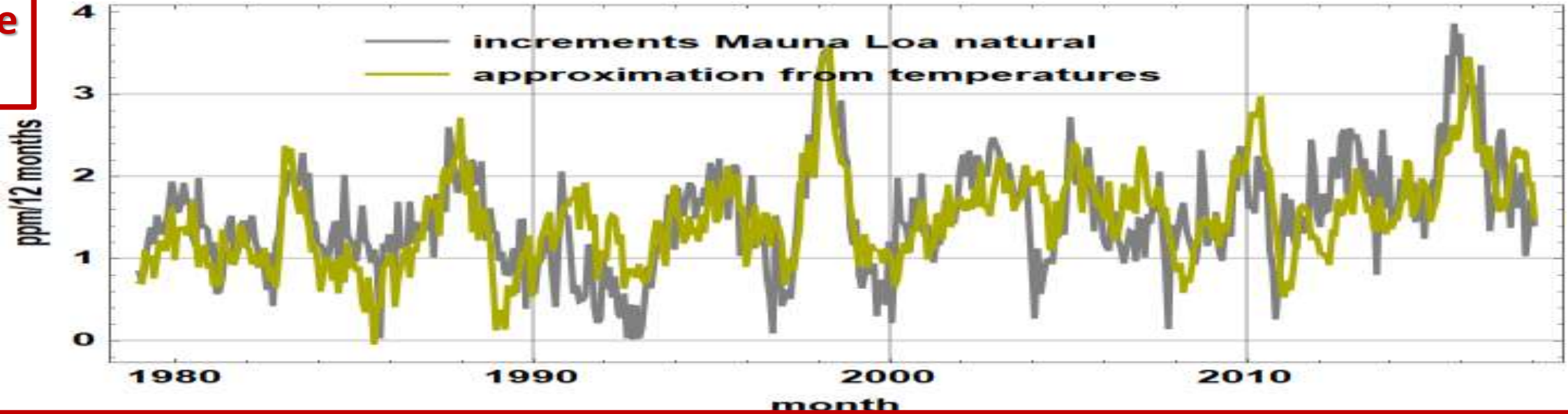
IPCC AR5 2013 figure 6-1 page 471



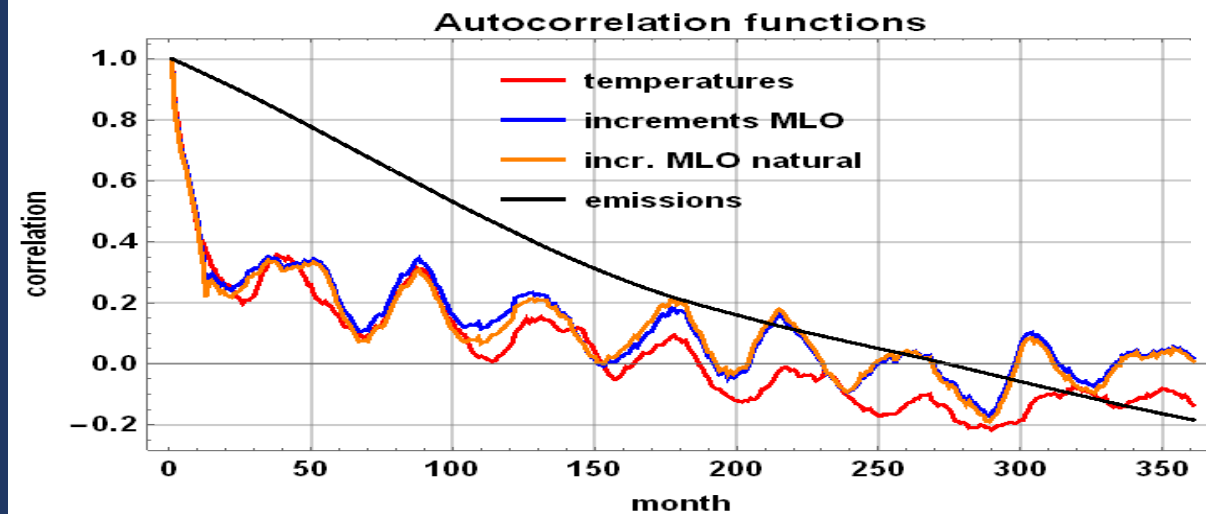
$$\int_{t_0}^t df(x)/dx dx = f(t) - f(t_0)$$

$d[\text{CO}_2](t)/dt$  Mauna Loa, natural, für  $dt = 12$  Monaten (grau) =  $1,7 (AT(t) - (-0,8^\circ\text{C}))$

**Tatsache  
3**



Statistische Unit root Tests für Zeitreihen sagen dass nur die Zeitableitung  $d\text{CO}_2/dt$  korreliert mit den innertropischen Temperaturen (Anomalien)  $d[\text{CO}_2](t)/dt = a AT(t) + b$ ,  $[\text{CO}_2](t) - [\text{CO}_2](t_0) = \int_{t_0}^t (a AT(t) + b) dt$



Mauna Loa ppm müssen einmal zeitweise abgeleitet werden um ein weakly stationary process zu bekommen

**SARIMA** Process[0.003, {-0.36, -0.19, -0.16, -0.086, 0.005}, **1**, {}, {12, {}, 1, {-0.8}}, 0.10]

+ Dickey Fuller tests

$AT(t)$  der UAH MSU intertropical lower troposphere Zeitreihe ist weakly stationary **AR** Process[0.0028, {0.89}, 0.022]

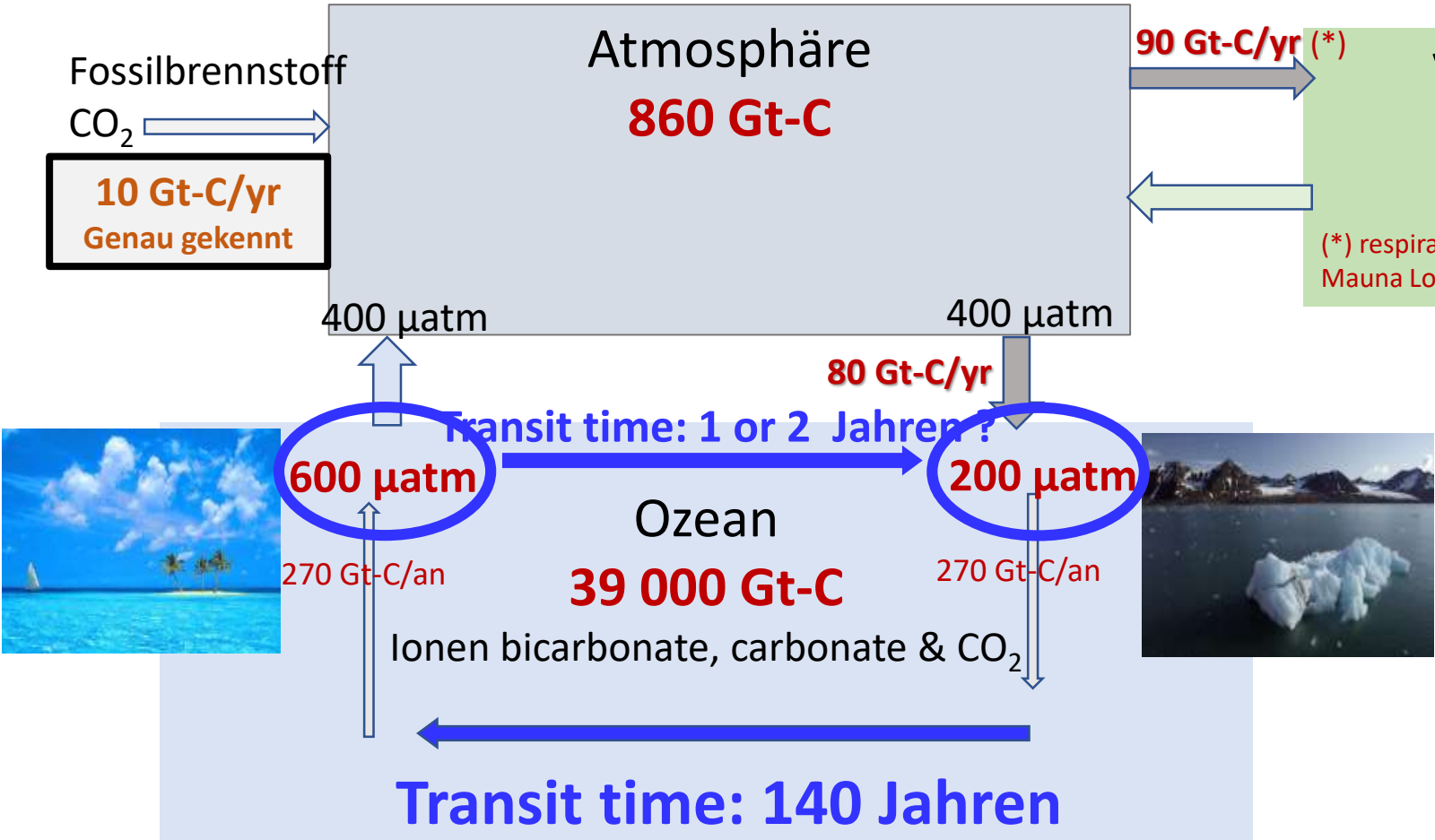
**Der Kohlenstoffgehalt der Luft ist das zeitliche Integral der vergangenen Temperaturen, deren Konsequenz und kann nicht deren Ursache sein !**

**Tatsache 4**

Gt = billion tons = Giga ton

1 ppmv CO<sub>2</sub> in der Luft ist 2,1 Gt-Carbon

**Je mehr CO<sub>2</sub> in der Luft, desto mehr fressen die Pflanzen, desto mehr saugen die Ozeanen ab! Jedes Jahr wird ein Fünftel der CO<sub>2</sub> der Atmosphäre abgesaugt!**



$$1/5 = (90 + 80) / 850$$

**A fünftel des CO<sub>2</sub> der Luft wird jedes Jahr abgesaugt**  
**Zuwachs des CO<sub>2</sub> in der Luft = input - output**

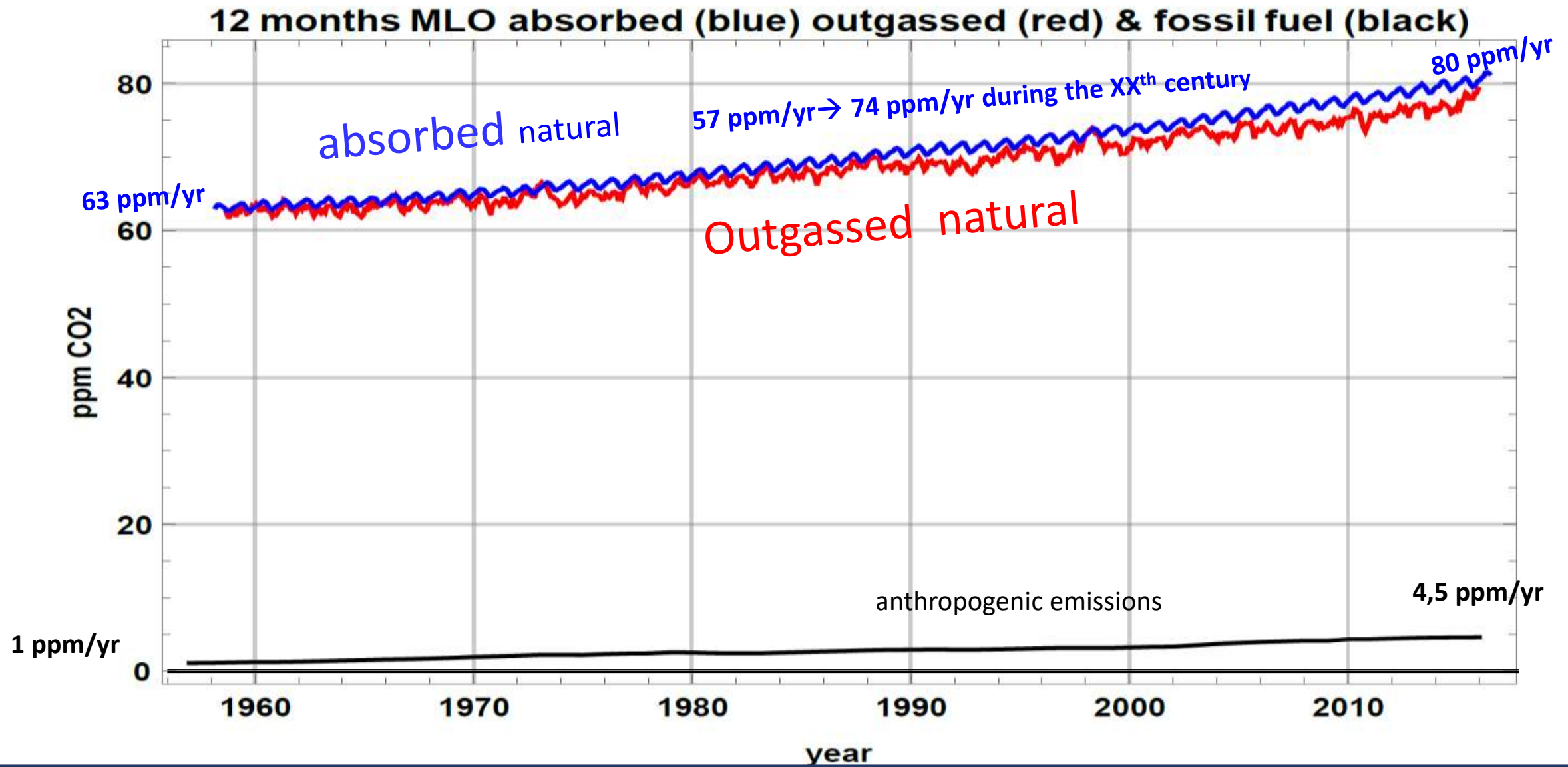
$$dy/dt = f(t) - y(t)/5$$

$$y(t) = 5 f(t) - 5 dy/dt$$

**Anthropogenic  $y_{anth.}(t) = 5 \text{ yr} \times 10 \text{ Gt-C/Jahr} - 5 \text{ yr} \times 0,4 \text{ Gt-C/Jahr} = 48 \text{ Gt-C} = 23 \text{ ppm}$  oder 6% deswegen**  
**Natürliches CO<sub>2</sub> aus natürlichen Abgasen ist 812 Gt-C = 383 ppm**

**Tatsache**  
**4**

**Natürliche Klimazyklen** → Temperaturen → **Natürliches Ausgasen**  
→ CO<sub>2</sub> in der Luft → **Absaugung = 1/5<sup>th</sup> pro Jahr**



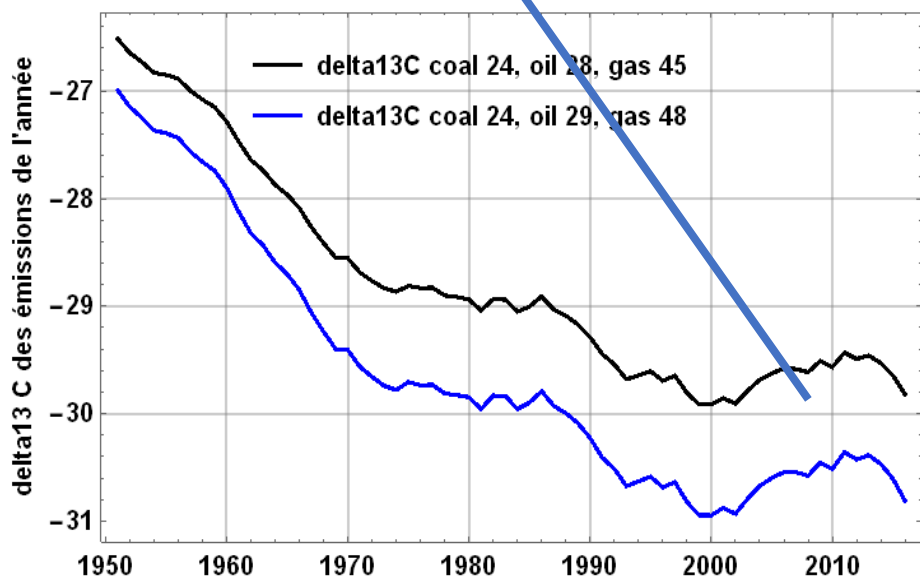
# Tatsache

5

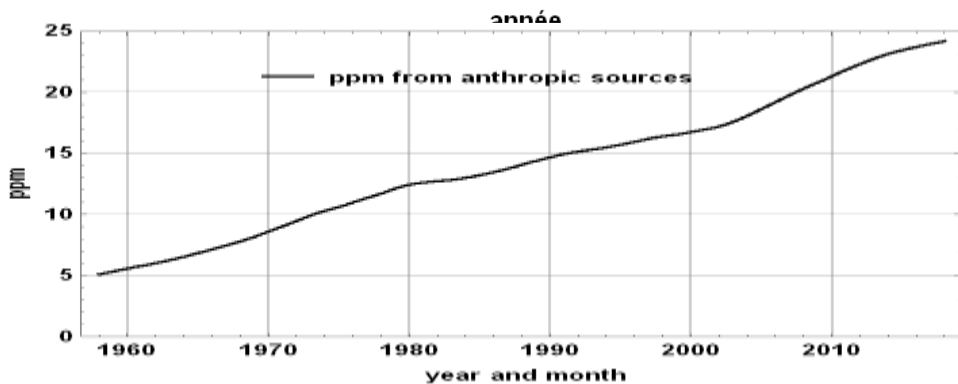
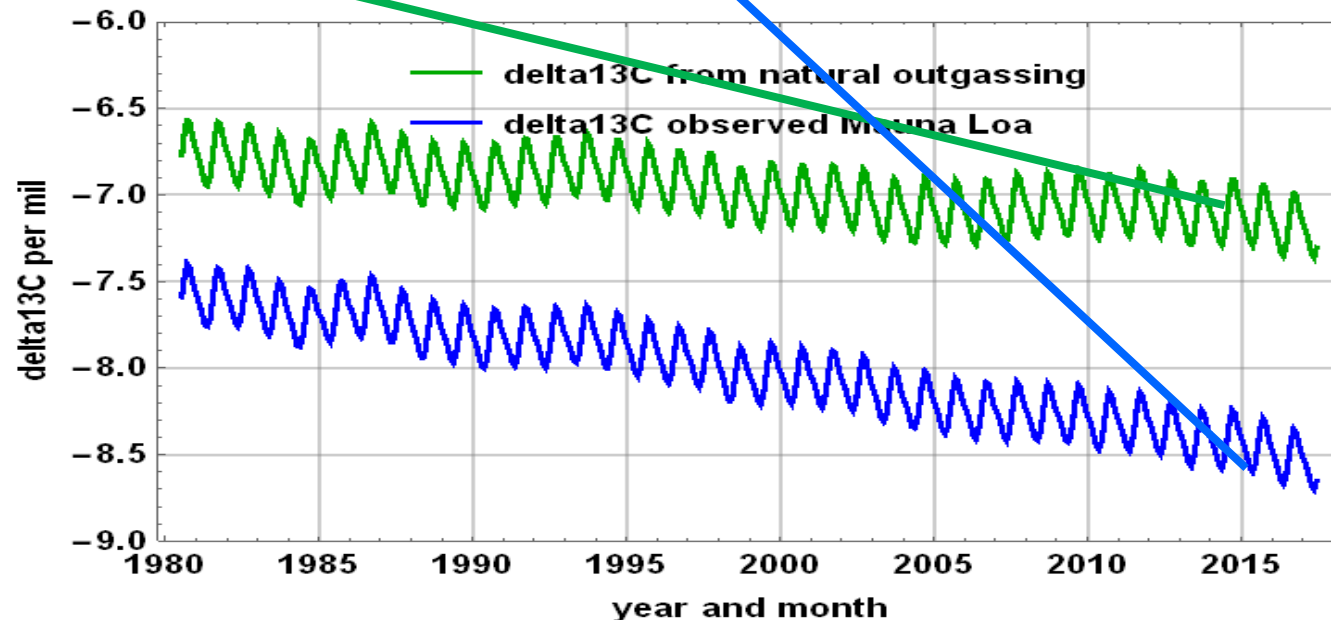
$\delta^{13}\text{C} = 1000 ( (^{13}\text{C}/^{12}\text{C}) / 0,0112372 - 1 )$  beweist dass nur 6% des CO<sub>2</sub> in der Luft aus Fossilbrennstoffen kommt

$$(-30 \text{ pm}) (6\%) + (-7.14 \text{ pm}) (94\%) = (-8.4 \text{ pm}) \text{ observed in 2014}$$

$\delta^{13}\text{C}$  von Fossilbrennstoffen



Beobachtetes  $\delta^{13}\text{C}$  @Mauna Loa &  $\delta^{13}\text{C}$  vom natürlichem Abgasen



**Betrüge** : IPCC FAR (1990) page 14 of Chapter 1 § 1.2.5: "Evidence that contemporary carbon dioxide increase is anthropogenic....The observed isotopic trends of  $^{13}\text{C}$  and  $^{14}\text{C}$  agree qualitatively with those expected due to CO<sub>2</sub> emissions from fossil fuels and the biosphere and they are quantitatively consistent with the results from carbon cycle modeling."

IPCC AR4 p 139: "Data presented in Figure 2.3 for the  $^{13}\text{C}/^{12}\text{C}$  ratio of atmospheric CO<sub>2</sub> at Mauna Loa show a decreasing ratio, consistent with trends in both fossil fuel CO<sub>2</sub> emissions and atmospheric CO<sub>2</sub> mixing ratios (Andres et al., 2000; Keeling et al., 2005)."

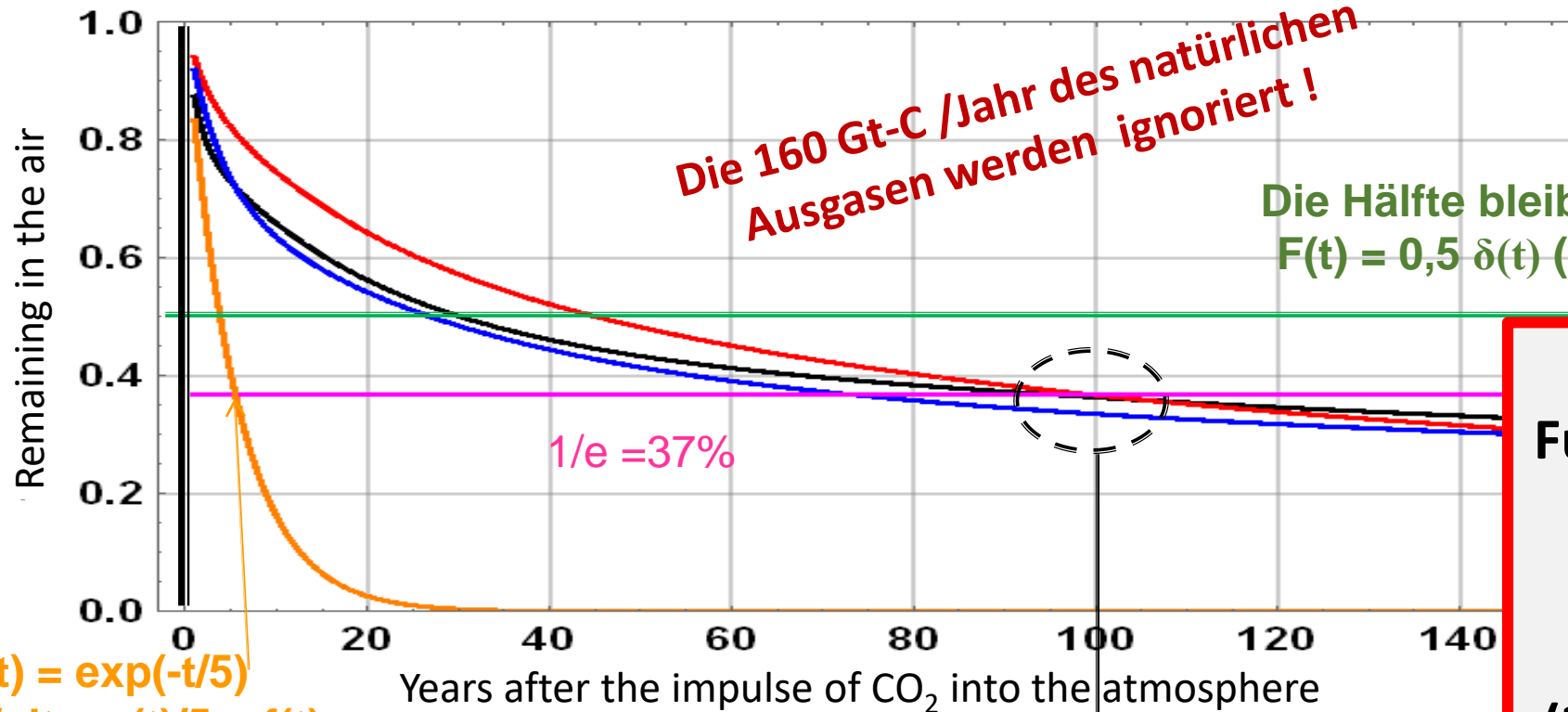
# Große Betrüge : Impulsantwort oder Transfer- Funktionen erdichtet in den 1980s

**A PRIORI Voraussetzung: der Zuwachs der ppm ist nur von Fossilbrennstoffen !**

Input = fossil fuels & cements ; output = Mauna Loa ppm

$$\text{ppmCO}_2 [t] - \text{ppmCO}_2 [t_0] = \int_{t_0}^t \mathbf{F(t-t')} \text{ fossil\_fuels(t')} dt' \quad \mathbf{F(t)} \text{ mit 8 frei einstellbaren Koeffizienten!}$$

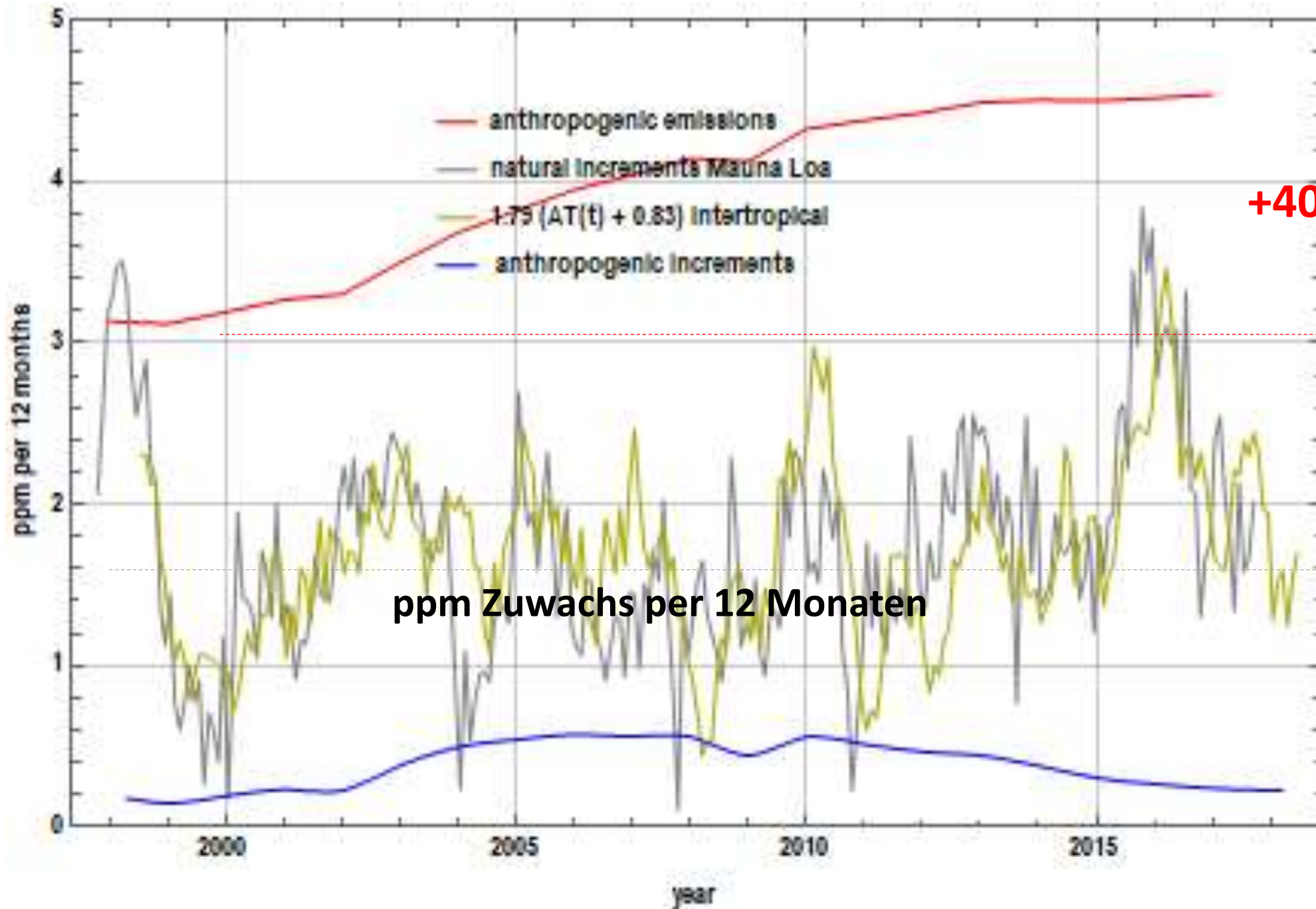
Bern & Hamburg & Berne rev. Transfer-Funktionen und "airborne fraction"



$$F(t) = \exp(-t/5)$$
$$dy(t) / dt + y(t)/5 = f(t)$$

Lebensdauer (bei  $1/e = 1 / 2,718 = 0,37 = 37\%$ ) : 90 bis 100 Jahren

**Bern & Hamburg Funktionen versagten jämmerlich: Kohleförderung wurde verdoppelt (2000-2010) aber der ppm 12-monaten Zuwachs blieb stabil!**



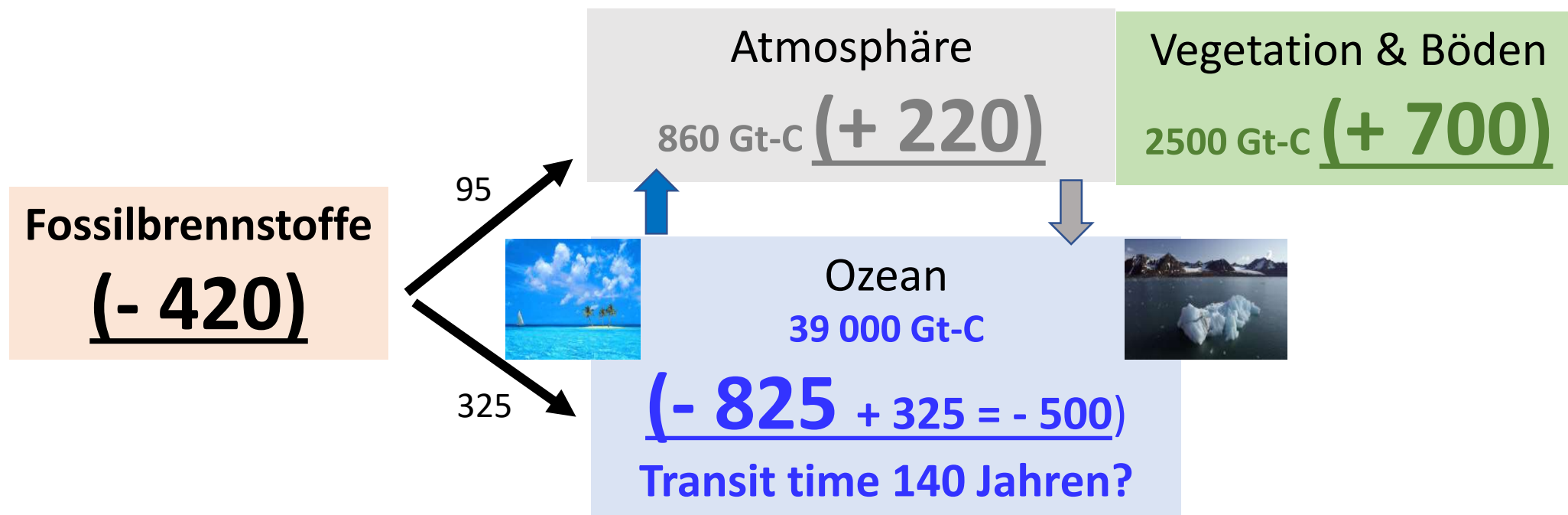


**Tatsache**  
**6**

J. E. Campbell, J. A. Berry, ... **Large historical growth in global terrestrial gross primary production (+31% over 1900-1999)**

<http://www.nature.com/nature/journal/v544/n7648/full/nature22030.htm>

Pretzsch, H., Biber, P., Schütze, G., Uhl, E., Rötzer, Th., **Forest stand growth dynamics in Central Europe have accelerated since 1870**, (2014) Nat. Commun. 5:4967, 552 DOI:10.1038/ncomms5967

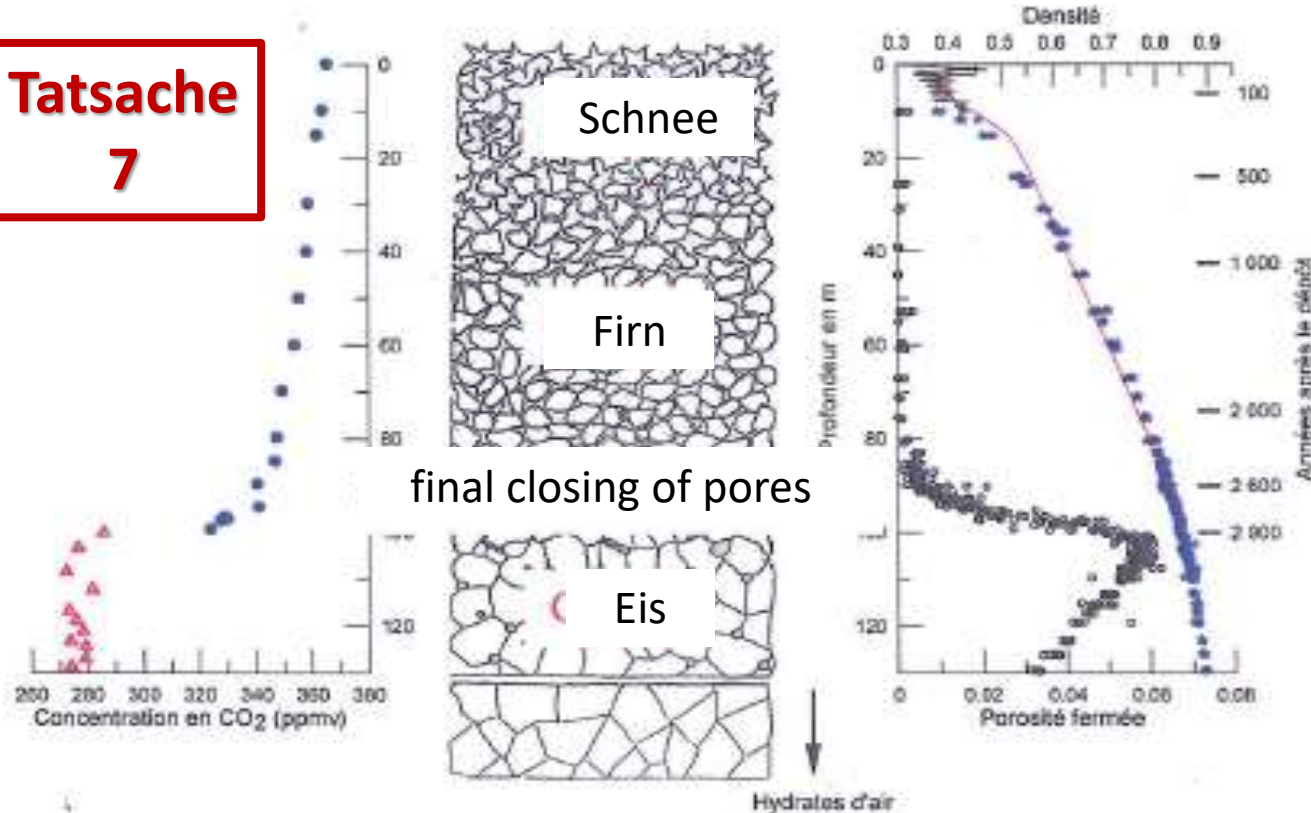


**Ozeanen und Fossilbrennstoffe** haben während des 20ten Jahrhundert Kohlenstoff an **Vegetation und Böden** gegeben wegen des **nichtlinearen Effect** der Pflanzen die mehr fressen wenn mehr CO<sub>2</sub> in der Luft vorhanden ist

$$dy_{veg \& soils} / dt = (y_{atm}(t) / 10) (y_{veg \& soils}(t) / y_{veg \& soils}(t_0))^u - y_{veg \& soils}(t-30) / 30$$

**Ozean Kohlenstoff Laufzeit von Subduktion zu Upwelling ist ein Jahrhundert**  
(60 m Eis) / ( 5 mm/ Jahr = Niederschläge über ZentralAntarctica) = 10 000 years

**Tatsache**  
**7**



Ein **gleitender Mittelwert** über **Jahrtausenden** wird von der zufälliger Schließung der Poren zwischen den Schneekristallen, zwischen Oberfläche und einer gegebenen Schichte verursacht, Das schafft alle Spuren von Jahrhundert-lange Ozeanzyklen ab  
*Deswegen werden 300 ppm max in Eisbohrkernen gefunden*

**Betrug : Eiskerndaten zeigen dass CO<sub>2</sub> war immer unter 300 ppm**

Die relevante Information wird von der gleitenden Mittelwert und von anderen Auswirkungen ausgelöscht !

Siehe Jaworowski 2007 (EIR) and 1997 (21<sup>st</sup> Century , spring 1997) [http://21sci-tech.com/Articles%202007/20\\_1-2\\_CO2\\_Scandal.pdf](http://21sci-tech.com/Articles%202007/20_1-2_CO2_Scandal.pdf)  
E.G. Beck's *Critical compilation of historical measurements of CO<sub>2</sub> 1812-1962*

## Tatsache 8

Die diabatische polytropische Beziehung zwischen Temperatur und Druck

$T(p) / T_0 = (p / p_0)^{R/(C_p - C_h)}$  bestimmt die troposphärische Temperatur auf Erde und auf Venus; Temperaturablauf ist  $g/(C_p - C_h) \text{ } ^\circ\text{C/m}$

$g = 9,81 \text{ m/s}^2$ ,  $C_h = -509 \text{ J/K/kg}$ ,  $C_p = 1005 \text{ J/K/kg}$ ,  $R = (8,314/\text{molare Masse}) \text{ J/K}$

(V. A. Bielinski 1948, O. G. Sorokhtin 2005, 2007)

**Beweis:**  $dH = T dS + V dp$ ;  $T dS = d'Q = C_h dT = C_p dT - R T dp/p$   $dp = -\rho g dz$  or  $dp/p = -g/(R T_v) dz$

$T(p) / T_0 = (p / p_0)^{R/(C_p - C_h)}$  wo  $(p_0, T_0)$  ist jeder Punkt in der Troposphäre

**Venus:  $230 \text{ K} + 63 \text{ km} \times 8 \text{ K/km} = 735 \text{ K} = 230 \text{ K} (92 \text{ atm} / 0,1 \text{ atm})^{0,17}$ ;**

Sonnenbestrahlung der Oberfläche ist fast null ( $30 \text{ W/m}^2$  auf der beleuchteten Seite); Strahlung von Venus zum Kosmos ist  $160 \text{ W/m}^2$  ( $230 \text{ K}$ )

**Erde:  $223 \text{ K} + 10 \text{ km} \times 6,5 \text{ K/km} = 288 \text{ K} = 223 \text{ K} (1 \text{ atm} / 0,26 \text{ atm})^{0,19}$**

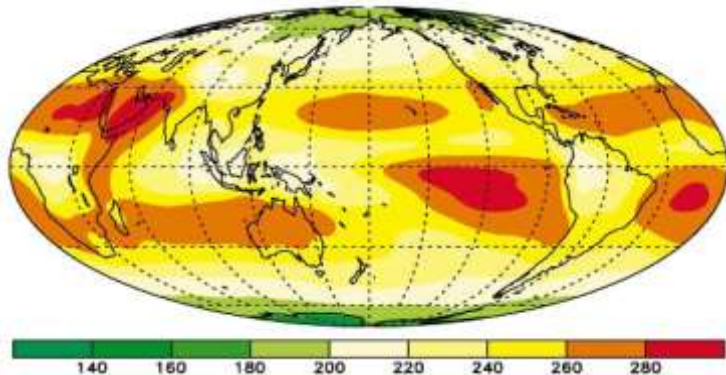
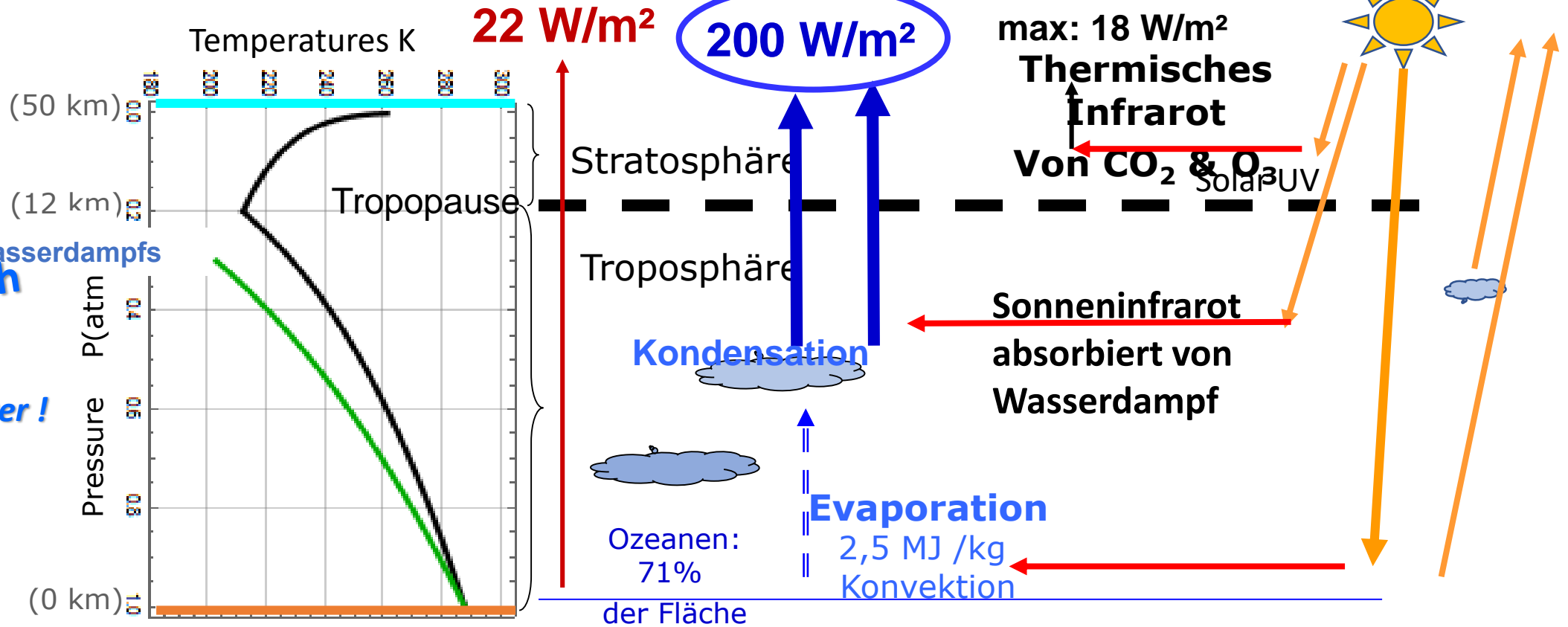
Bezüglich dieser dynamischen Schichte von Wasserdampf die effektiv zum Kosmos infrarote Strahlung abgibt und unter der Tropopause liegt

# Übersicht

## Die Wärmewiedergabe durch die Troposphäre : auf der Erde $H_2O$ und Wolken

“Haut“ des Wasserdampfs  
**dynamisch**

**Troposphäre:  
Höher & kälter !  
Niedriger & wärmer!**



**Wasser, Wasserdampf & Wolken**  
machen OLR im Bereich  
 $220W/m^2$  bis  $280 W/m^2$  gleich  
Anstatt von  $2 W/m^2$  bis  $1300 W/m^2$   
auf dem Mond

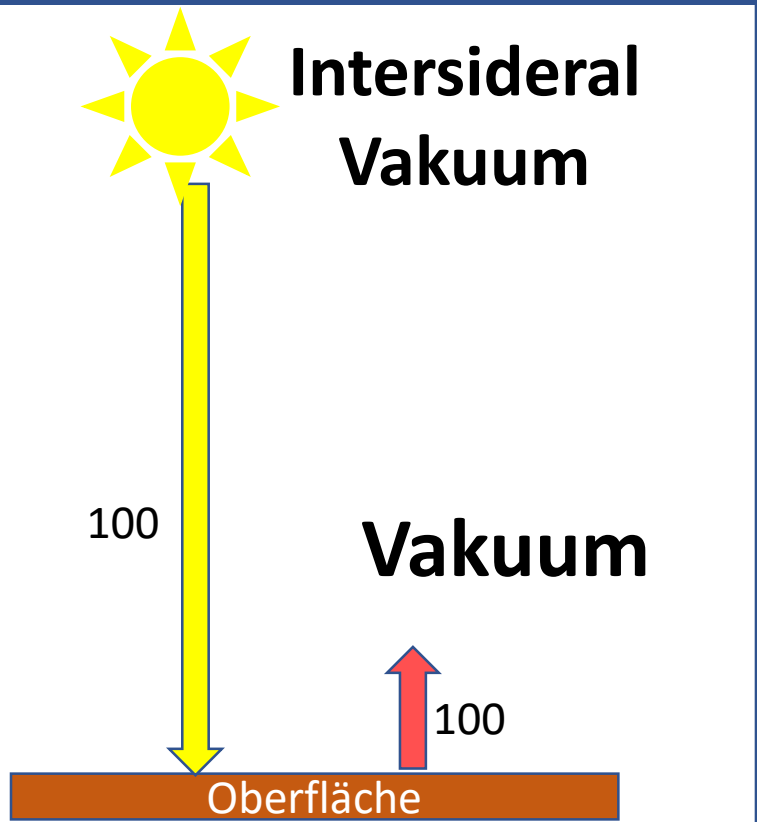
### Betrüge :

Kiehl and Trenberth Schemas: thermisches Infrarot aus der Oberfläche wird um 10% ( $30 W/m^2$  !) überschätzt

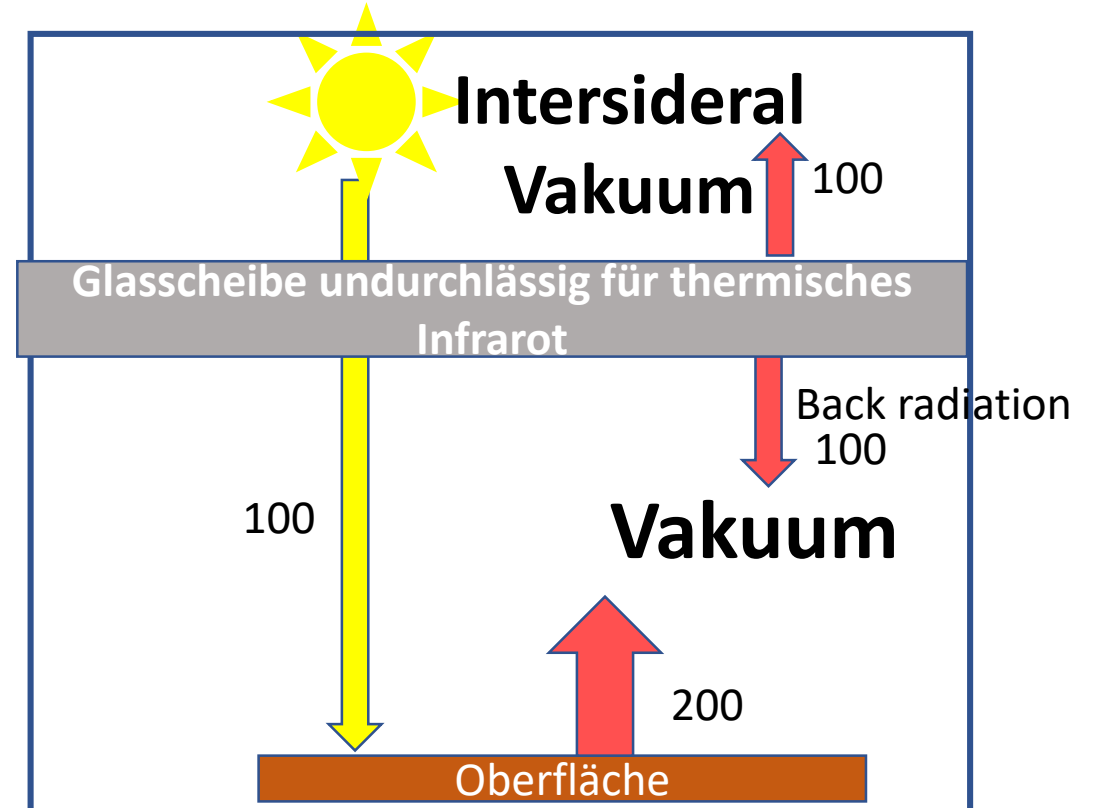
See: Feldman, Daniel R. et al. *Far-infrared surface emissivity and Climate* PNAS 2014 vol. 111 n°. 46

Treibhauseffekt : eine Scheibe in VAKUUM erhöht die Temperatur der Oberfläche des Mondes um 75°C

**Tatsache  
9**



Auf dem Mond  
 $T_{\text{surface}} = 393 \text{ K} = 120^\circ\text{C}$   
 Sun am Zenith ( $1360 \text{ W/m}^2$ )



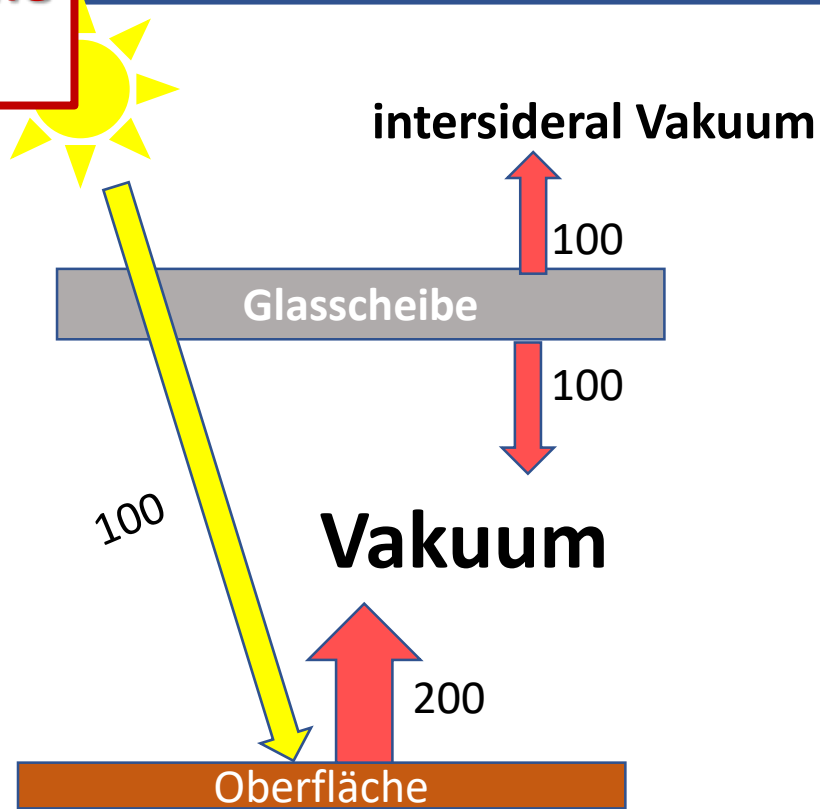
Auf dem Mond  
 $T_{\text{surface}} = 393 \text{ K} \cdot 2^{1/4} = 468 \text{ K} = 195^\circ\text{C}$   
 Sun am Zenith ( $1360 \text{ W/m}^2$ )

Nota : the flows 100 or 200 are not  $\text{W/m}^2$  but simple numbers to help the understanding of what happens

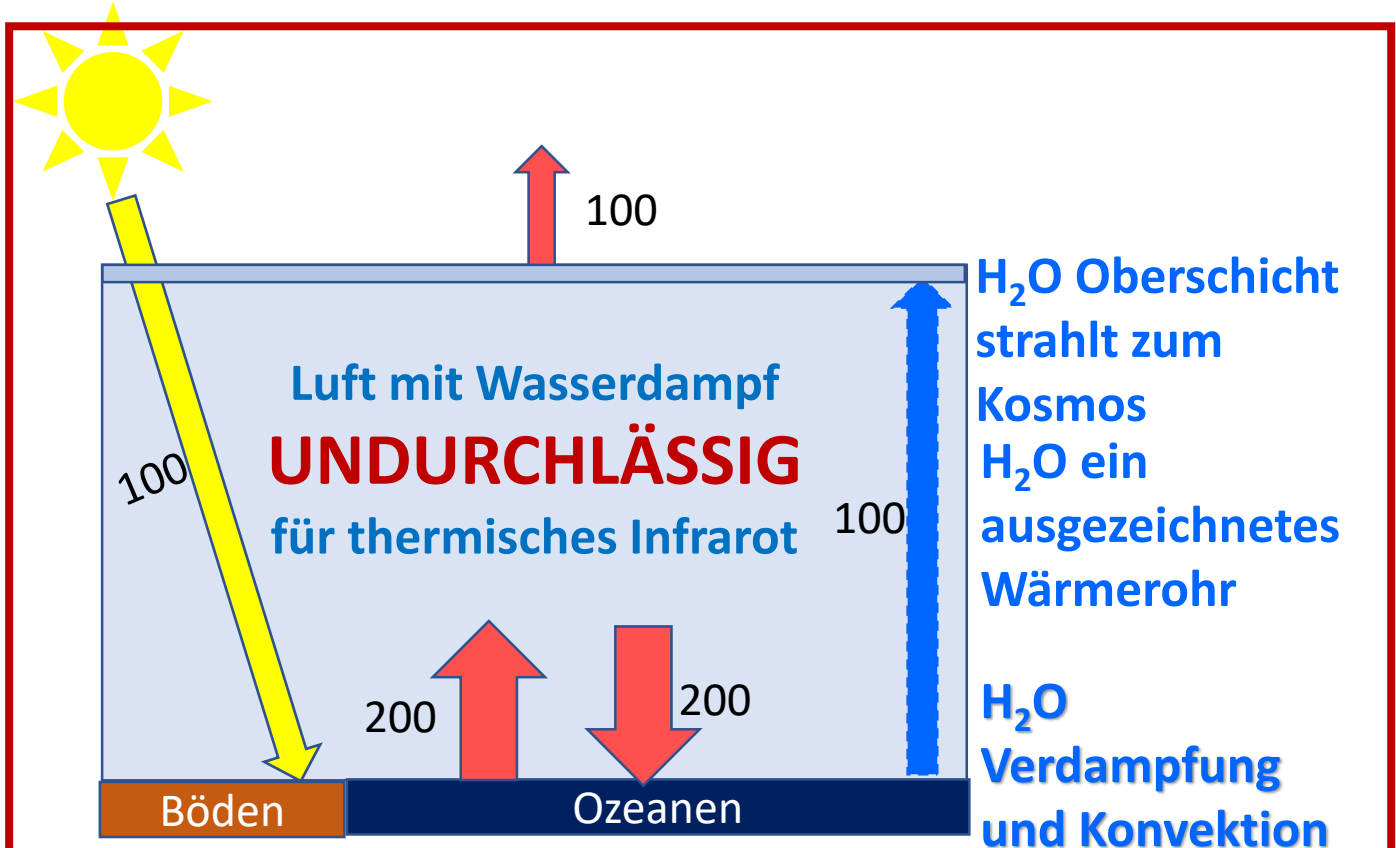
# Imaginäres Treibhauseffekt und wirkliche Erde

**Tatsache**

**9**



Eine Glasscheibe in Vakuum, die Wand einer Thermosflasche, ein gutes Isoliermaterial, ist kein Vorbild für eine turbulente und wasserdampfhaltige Luft die ein ausgezeichnetes Wärmerohr ist mit latenter und sensibler Wärmen!



Keine Wärmeübertragung durch thermal infrarot aus der Oberfläche weil  $200 - 200 = 0$

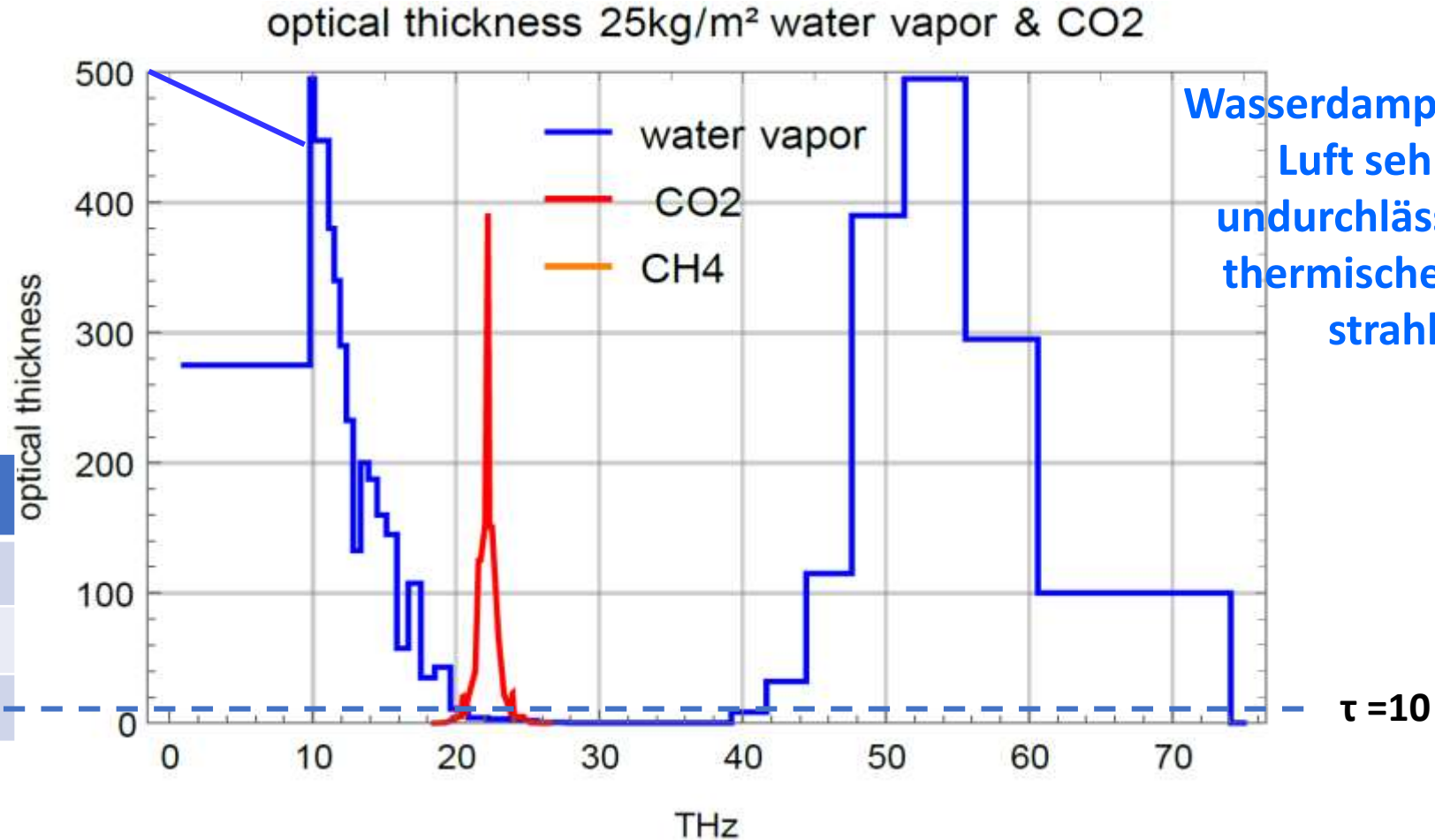
Kein Strahlungswärmeübergang durch die Luft weil **Wasserdampf** macht die Luft sehr **UNDURCHLÄSSIG**

$$(T_{\text{Surface}}) / (T_{\text{strahlende Haut}}) = (P_{\text{Surface}}) / (P_{\text{Haut}})^{0,19}$$

Nota : die Flüsse 100 oder 200 sind keine  $W/m^2$  aber einfache Nummer um die Fakten klar zumachen

Die optische Dicke  $\tau$  der Atmosphäre ist der passende Parameter um in einem absorbierenden und strahlenden Medium die Strahlung zu berechnen (Chandrasekhar 1948, K. Ya. Kondratiev 1969)

**Tatsache  
10**



**80% der thermischen Strahlung eines Körpers kommt von einem Haut mit optischer Dicke  $\tau = 1,07$**

$$f_{\text{down}}(\nu, z) = \pi \int_0^{\tau(\nu, z)} B(\nu, T(t')) 2 E_2(\tau(\nu, z) - t') dt' \quad f_{\text{up}}(\nu, z) = \pi \int_{\tau(\nu, z)}^{\tau_{\text{max}}} B(\nu, T(t')) 2 E_2(t' - \tau(\nu, z)) dt'$$

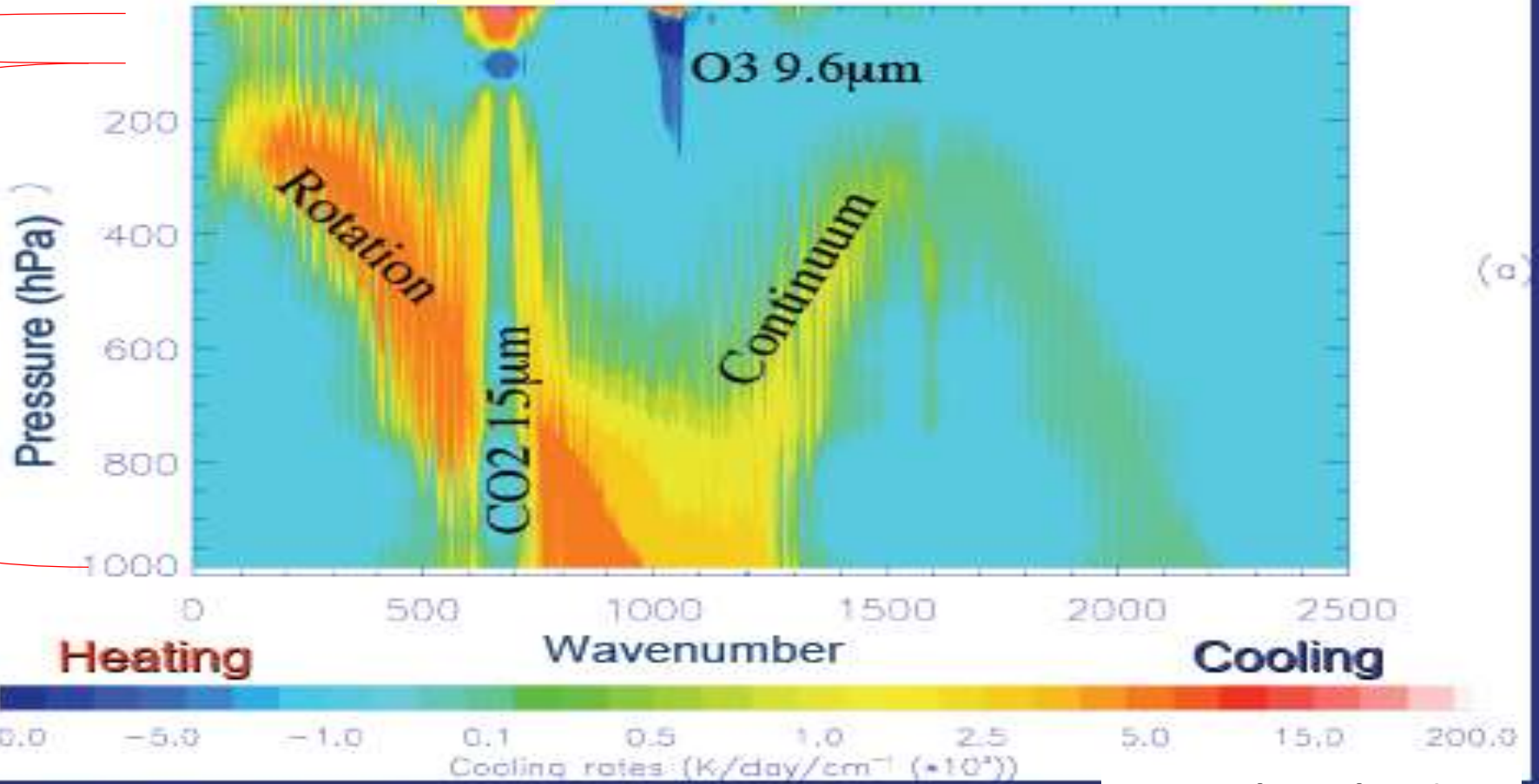
$$f_{\text{surface}}(\nu, z) = \pi B(\nu, T_{\text{surface}}) 2 E_3(t_{\text{max}} - \tau(\nu, z)) \quad B \text{ Planck's Funktion, } E_2 \text{ and } E_3 \text{ exponential integral Funktionen}$$

# H<sub>2</sub>O dominates Longwave

Variation of longwave cooling rates with pressure and wavenumber: (a) TRT (tri),

CO<sub>2</sub>

O<sub>3</sub>

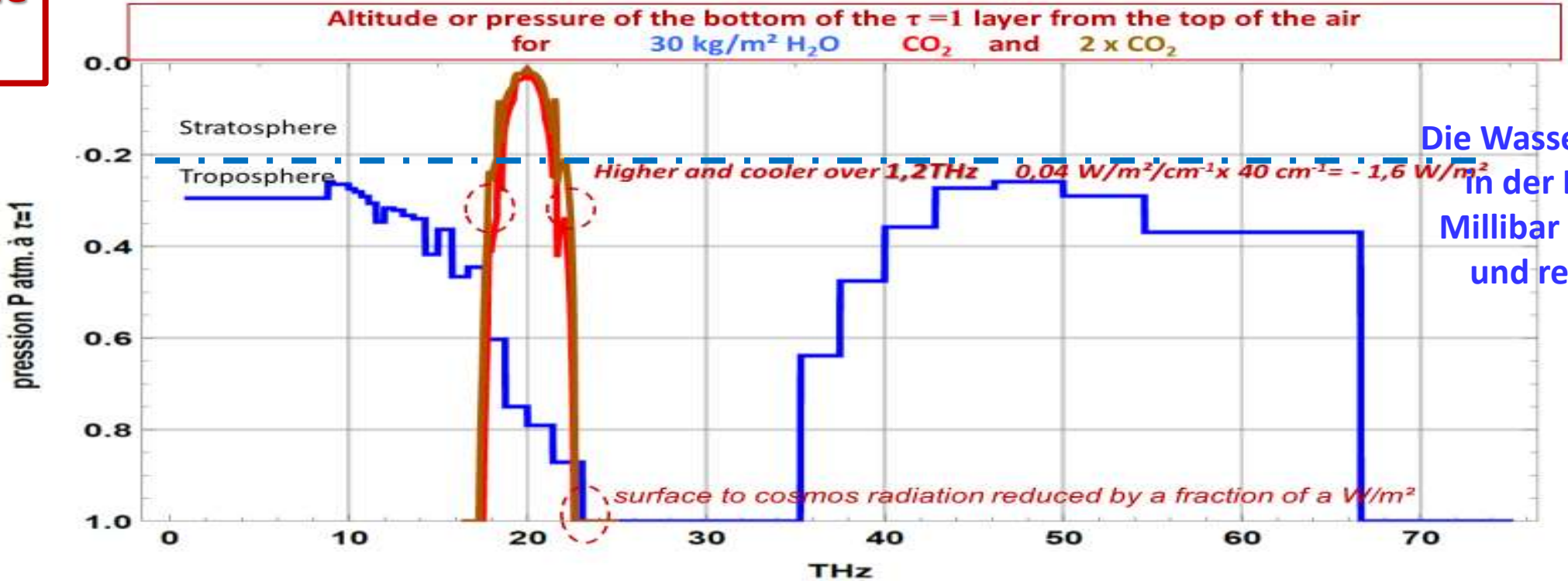


Brindley & Harries 1998 (SPARC 2000)



**Tatsache  
10**

Druck P bei der unteren Grenze  $\tau=1,07$  berechnet mit  $\tau(P)_{H_2O}=P^{4,5} \tau(1)_{H_2Omax}$   $\tau(P)_{CO_2}=P^{1,45} \tau(1)_{CO_2max}$



Die Wasserdampfmenge  
in der Luft bei 300  
Millibar ist dynamisch  
und reguliert OLR

The « higher and cooler » effect of 2 x CO<sub>2</sub> is about one percent of the heat flows

Höher und kälter mit mehr CO<sub>2</sub> über 1.2 THz : OK

IPCC insistiert dass NUR eine Erwärmung der 300 mbar Schicht die OLR wiederherstellen kann ! Das ist eine Mauschelei, ein Betrug !

The worst  
deception  
ever seen!

Ein bisschen weniger Wasserdampf zwischen 200 mbar und 400 mbar stellt die Strahlung zum Weltall wieder her, weil der Wasserdampf über 40 THz aus einer niedrigeren und wärmeren Schichte strahlt

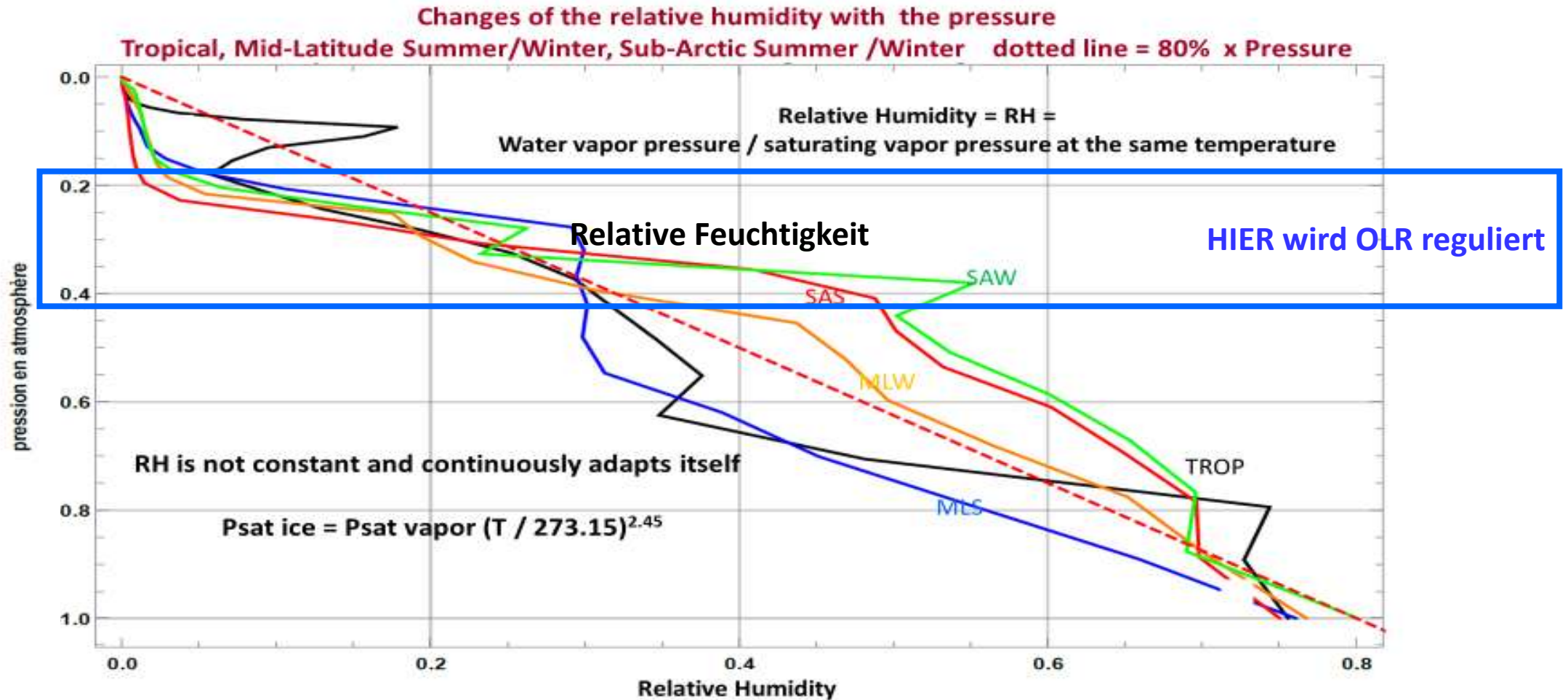
**Tatsache  
11**

Die Wasserdampfmenge in der Luft der höheren Troposphäre reguliert das OLR und die Temperaturen der Oberfläche.

Diese Wasserdampfmenge über 400 mbar ist eine Konsequenz der vertikalen und horizontalen Bewegungen der Luft.

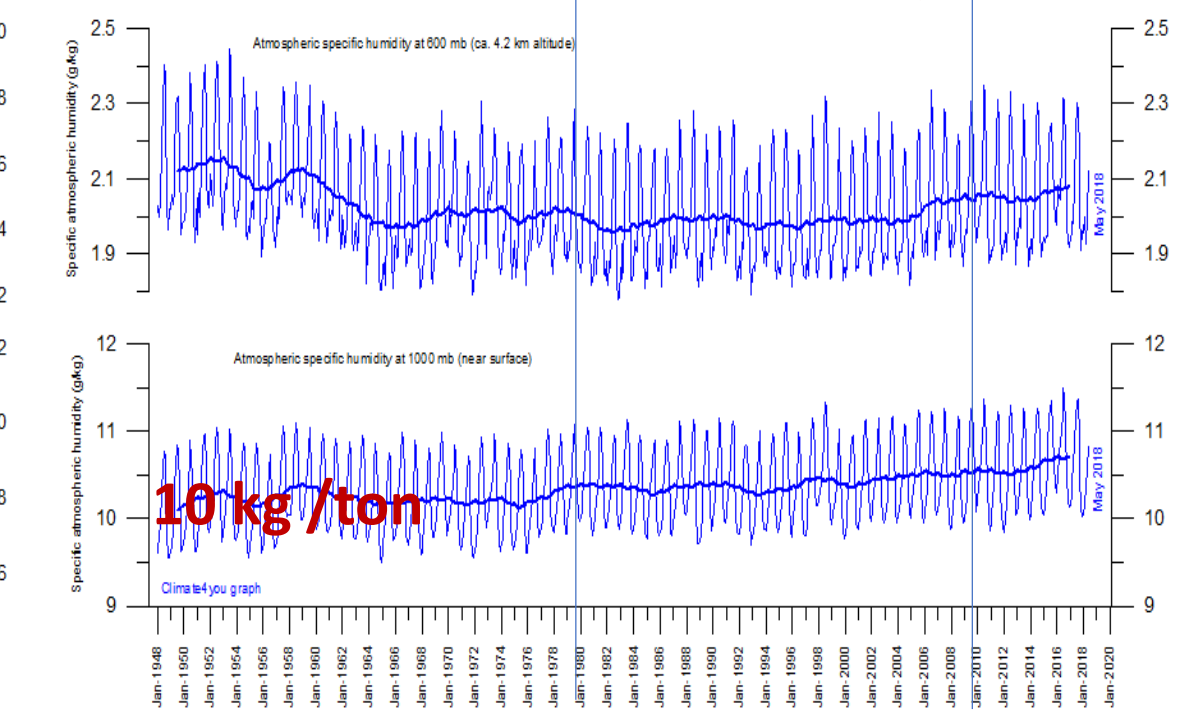
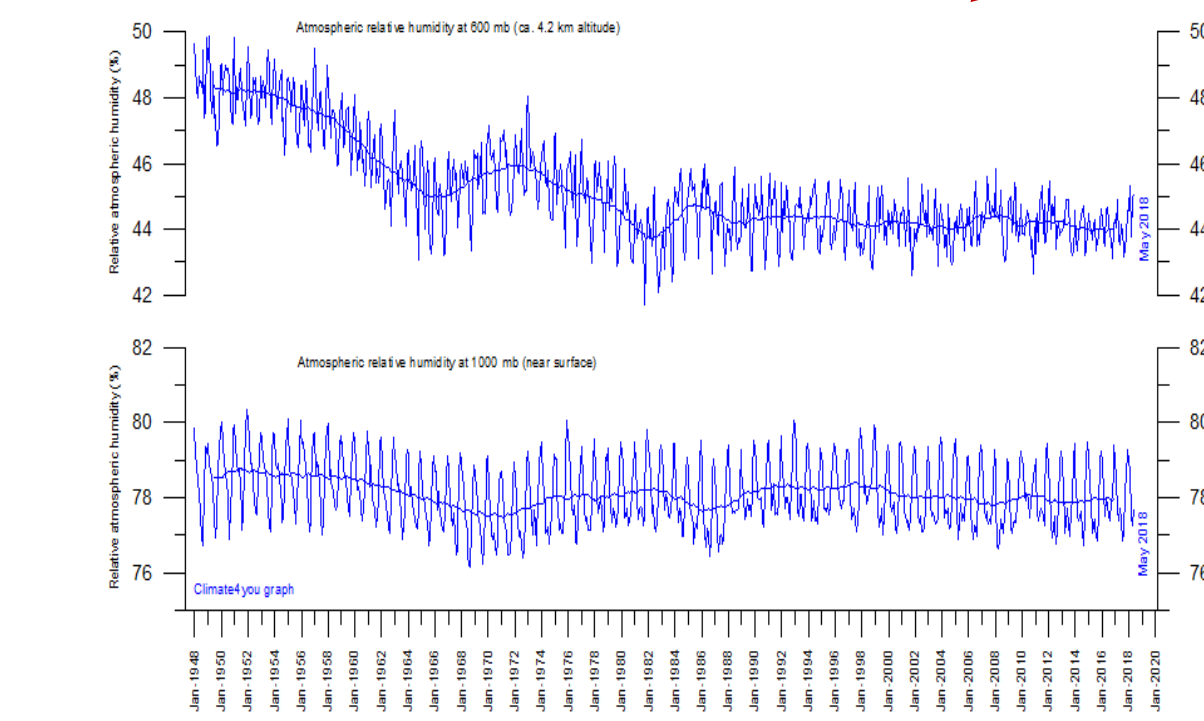
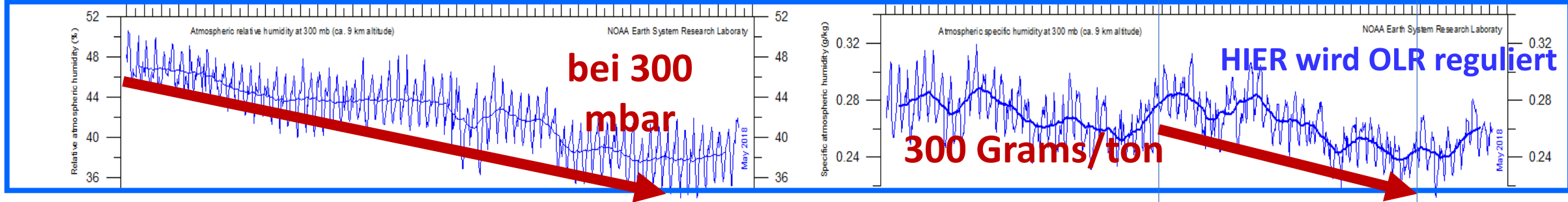
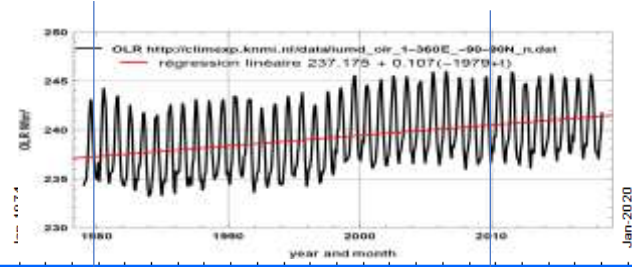
Möglicherweise berechenbar aus einem "Maximum Entropy Production Principle"

Richard Lindzen, Stefan Buehler, Garth Paltridge.



**Tatsache 11**

**Die Wasserdampfmenge in der Luft der oberen Troposphäre reguliert die OLR.**



**Relative humidity: Prozent des Sättigungsinhalt @T(P)**

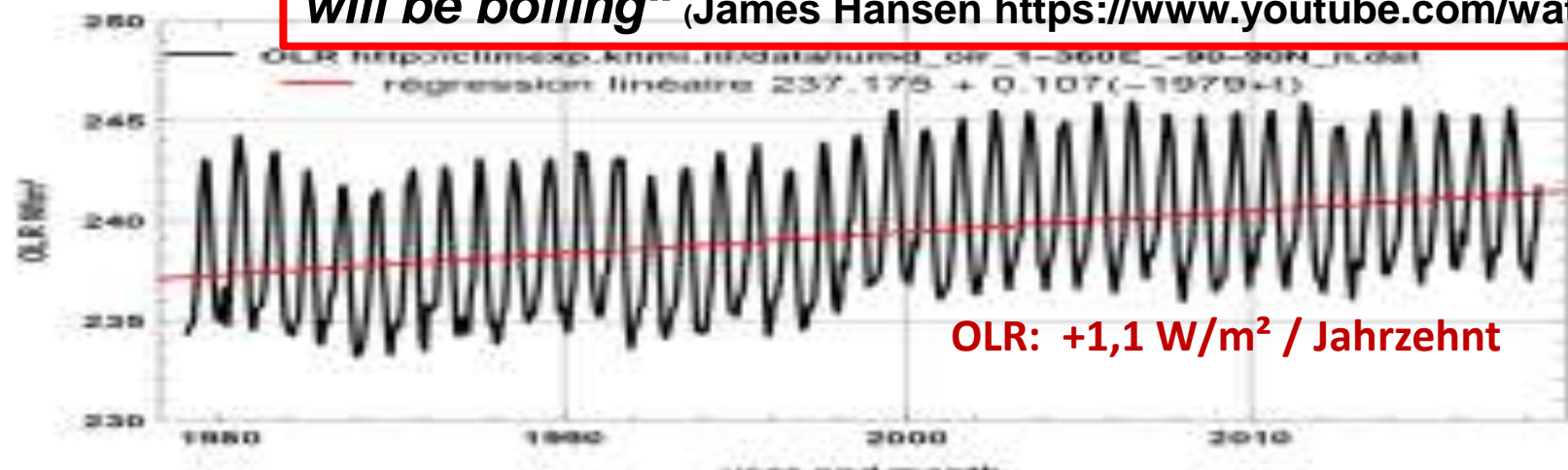
**Specific humidity: kg/ton of air (kg/100 mbar)**

Täuschungen  
und  
Fälschungen

Mehr CO<sub>2</sub> verursacht eine Abnahme der OLR [genau für tropospharisches CO<sub>2</sub> !]

Diese Abnahme ist ein "radiative forcing" per GIEC AR5 WG1 2013 figure 8.1

**Täuschungen und Betrüge:** (1) Es gibt ein radiative forcing von 2,3 W/m<sup>2</sup> in 2011; (2) 93% von dem ist in den Ozeanen (IPCC); (3) **Ozeanen werden sieden** : „Oceans will be boiling“ (James Hansen [https://www.youtube.com/watch?v=ACHLayfA6\\_4](https://www.youtube.com/watch?v=ACHLayfA6_4))



**Radiative Forcing von Treibhausgasen existiert nicht**  
Das ist ein **Mythos**  
Und ein **Mirakel**: Energie aus NICHTS! Keine chemische und keine nukleare Reaktion!

Hans Ch. Andersen 1837 die neue Kleider

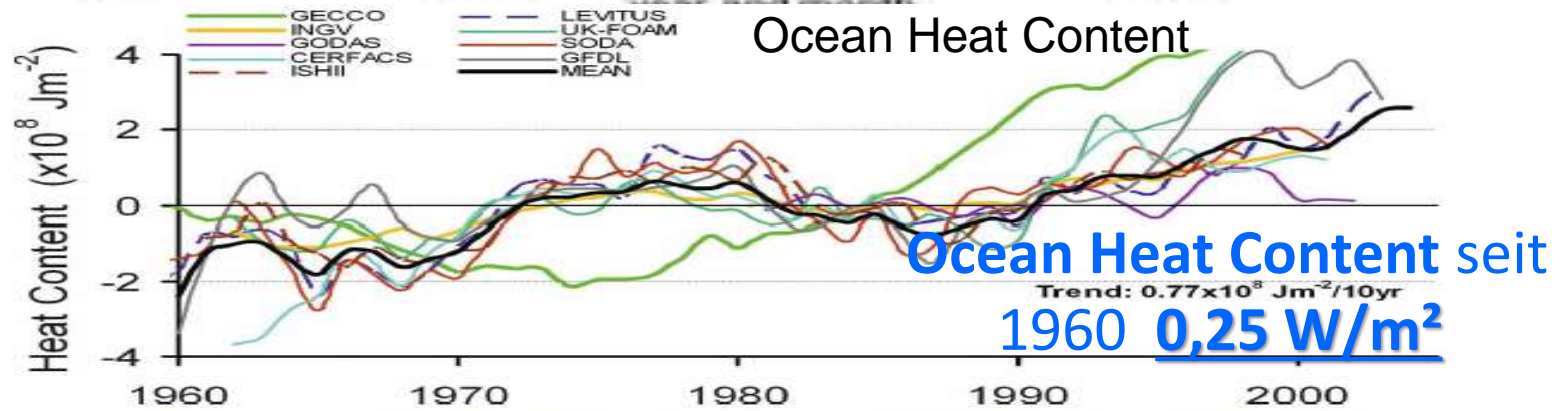


FIG. 1. Global average heat content anomalies from the individual 30-yr record means (1966–95), integrated at 0/700 m and temporally smoothed with a 1-yr running filter. Bold black curve shows the ensemble average of the eight no-model and sequential analyses. The linear trend of the ensemble average is  $0.77 \times 10^8 \text{ J m}^{-2} (10 \text{ yr})^{-1}$  or  $0.24 \text{ W m}^{-2}$ , while trends of individual analyses range from  $0.68$  to  $0.98 \times 10^8 \text{ J m}^{-2} (10 \text{ yr})^{-1}$  ( $0.21\text{--}0.31 \text{ W m}^{-2}$ ). Annual vs the lower axis (from Hansen et al. 2005). Global integrated average by multiplying by the surface area of the World C

Global Decadal Upper-Ocean Heat Content as Viewed in Nine Anal

JAMES A. CARTON AND ANTHONY SANTORELLI

**Bitte konzentrieren Sie sich über die zwei große Täuschungen** die seit Roger Revelle's 1965 report stetig benutzt und gelehrt werden : *"Anthropogenic CO<sub>2</sub> accumulates in the atmosphere", "Greenhouse effect traps heat, etc."*

## Hauptfakten:

1- Nur 6% des CO<sub>2</sub> in der Luft kommt von Fossilbrennstoffe wegen der 5 Jahren Lebensdauer des CO<sub>2</sub> in der Luft; der Kohlenstoff der Luft wird von den Ozeanen der höheren Latitüden gepumpt und **subduziert in den Tiefozean; der Kohlenstoff der innertropischen Ozeanen wird obducted aus dem Tiefozean und wird ständig erneuert!**

**94% des CO<sub>2</sub> in der Luft ist das Zeitintegral der vergangenen Temperaturen !**

2- Die Luft ist sehr undurchlässig (optische Dicke in den 10 und 100) für das thermische Infrarot; die Oberfläche gibt die Sonnenwärme durch **Verdunstung** und Konvektion ab.

3- Über Erde und Venus sind die Temperaturen der Oberfläche durch die troposphärische Temperatur-Druck Beziehung mit Exponent  $R/(C_p - C_h)$  bestimmt; die dynamische obere Schicht des **Wasserdampfes strahlt fast 90% des thermischen Infrarots** unter der Tropopause.

4- Die **Menge Wasserdampfs** pro Tonne Luft bei 300 mbar (ungefähr 300 Grams pro Tonne Luft) reguliert die Infrarotstrahlung der Erde (OLR)

12. Internationale EIKE Klima- und  
Energiekonferenz, IKEK-12  
23.-24. November 2018,

NH München Ost Conference Center  
Freitag, 23. November 17h00

# Elf Tatsachen die man wissen muss, um nicht an den menschengemachten Klimawandel zu glauben

[camille.veyres@polytechnique.org](mailto:camille.veyres@polytechnique.org)

(Tatsachen 1 bis 7 : Kohlenstoffkreislauf, “carbon cycle” )

mathematisch nachgewiesen : Der  $\text{CO}_2$  Gehalt in der Luft  $[\text{CO}_2](t)$  is eine Folge und  
Auswirkung der Temperaturen  $d[\text{CO}_2](t) / dt = a AT(t) + b$  und deswegen kann nicht deren  
Ursache sein

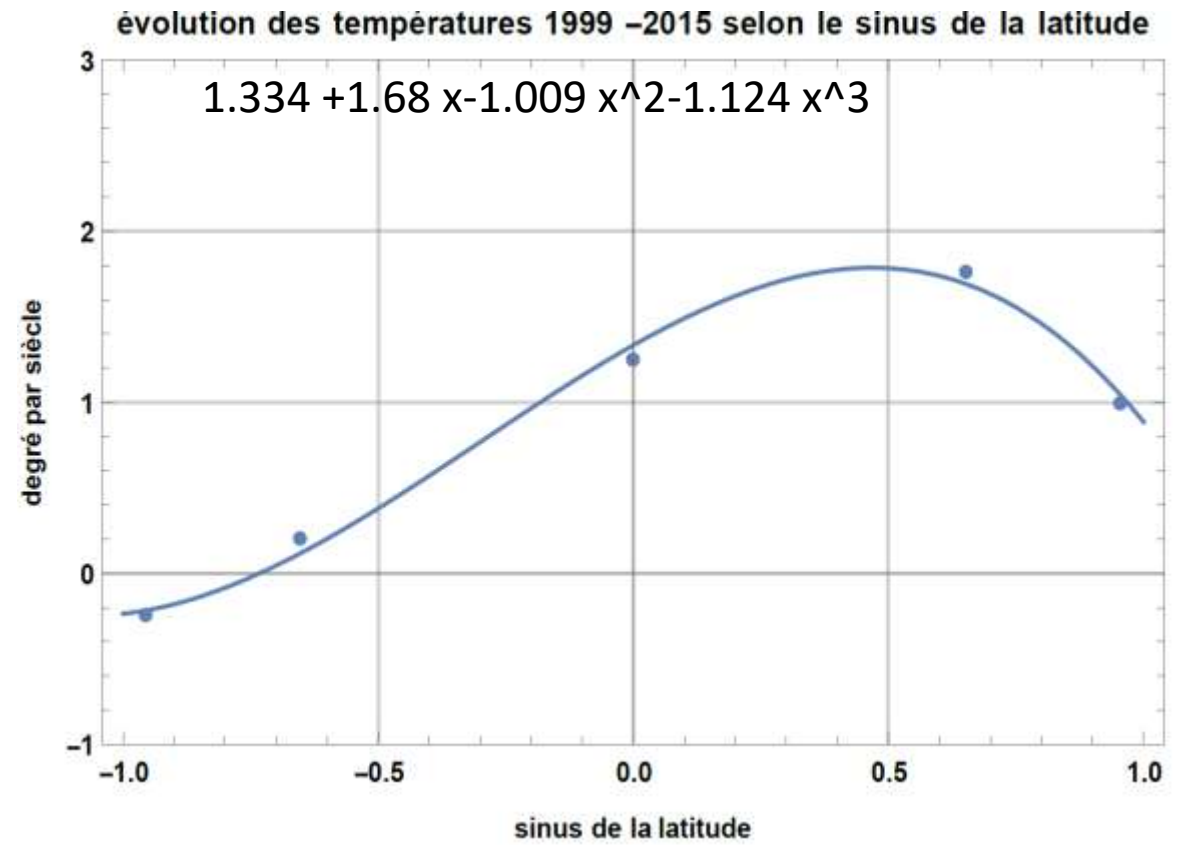
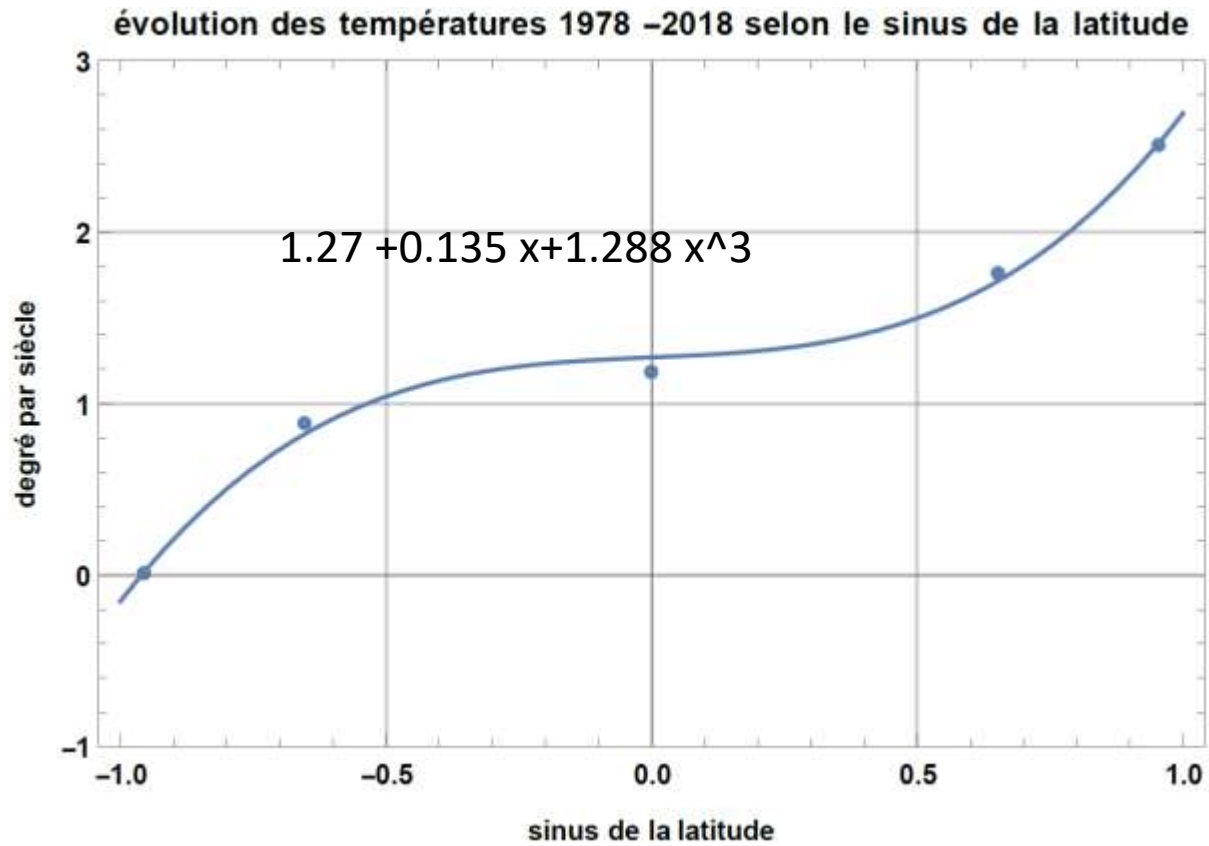
(Tatsachen 8 bis 11 entlarven den Mythos “greenhouse effect”)

Treibhauseffekt existiert NUR in VAKUUM

Auf der Erde ist Treibhauseffekt unmöglich weil **Wasserdampf** (1) ein heat pipe (**Wärmerohr**)  
zwischen Erdoberfläche und höhere Troposphäre ist & (2) **undurchlässig für thermal IR** ist  
Die polytrope Beziehung  $T \sim P^a$  bestimmt die Temperaturen der Troposphäre auf der Erde & auf  
der Venus. Die **Menge Wasserdampf in der Nähe von 300 mbar** steuert die Infrarotstrahlung  
der Erde

Betrüge und Fälschungen werden enttarnt und nachgewiesen



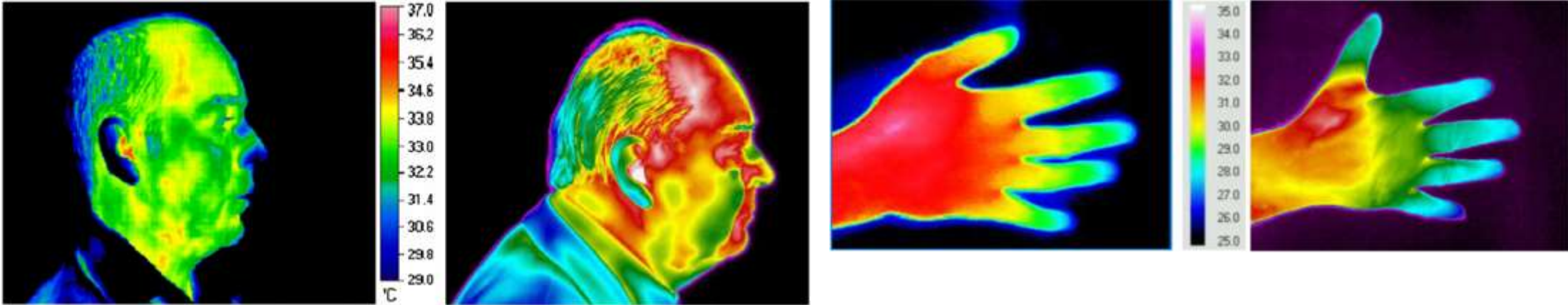


[https://www.nsstc.uah.edu/data/msu/v6.0/tlt/uahncdc\\_lt\\_6..txt](https://www.nsstc.uah.edu/data/msu/v6.0/tlt/uahncdc_lt_6..txt)



# Thermal Infrared ? Any body that absorbs radiation of a certain frequency radiates at that frequency **but at its own temperature**

Figures from Infrared thermal imaging in medicine E F J Ring and K Ammer 2012 Physiol. Meas. 33 R33 doi:10.1088/0967-3334/33/3/R33



Mega = 1 Million, Giga = 1000 Millions = 1 Billion Tera = 1000 Billions

Frequencies of electromagnetic radiation examples : 50 Hertz, 600 MHz (UHF TV, 50 cm), 1 GHz (GSM), 2,45 GHz (microwave oven ), 12 GHz (satellite TV) , **1 THz (300  $\mu\text{m}$ )**

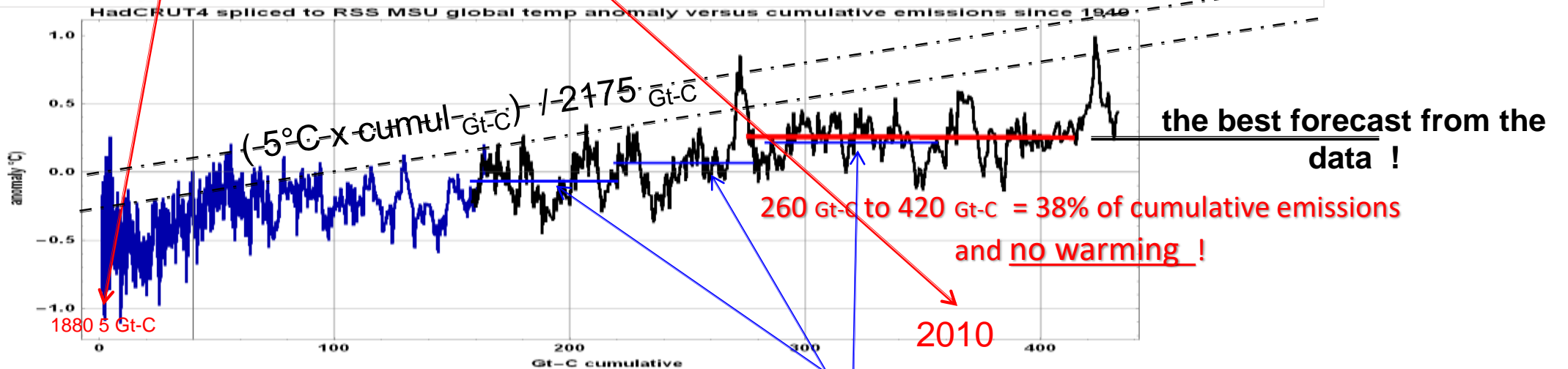
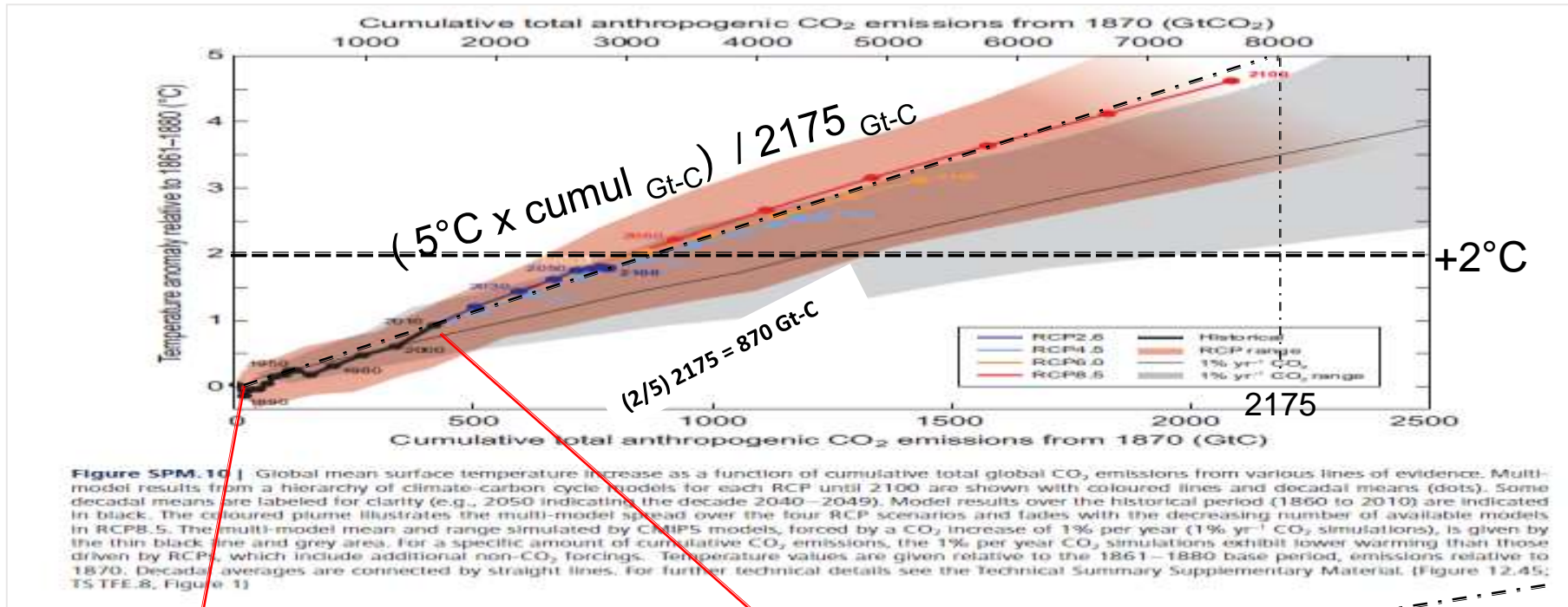
The range **1 THz (300  $\mu\text{m}$ ) to 75 THz (4  $\mu\text{m}$ )** is named **thermal infrared** radiated by bodies and gas at our temperatures (+40°C to -50°C),

maximum of radiation at the frequency 0,059 T(K) THz 17,7 THz @ 300 K = +27°C

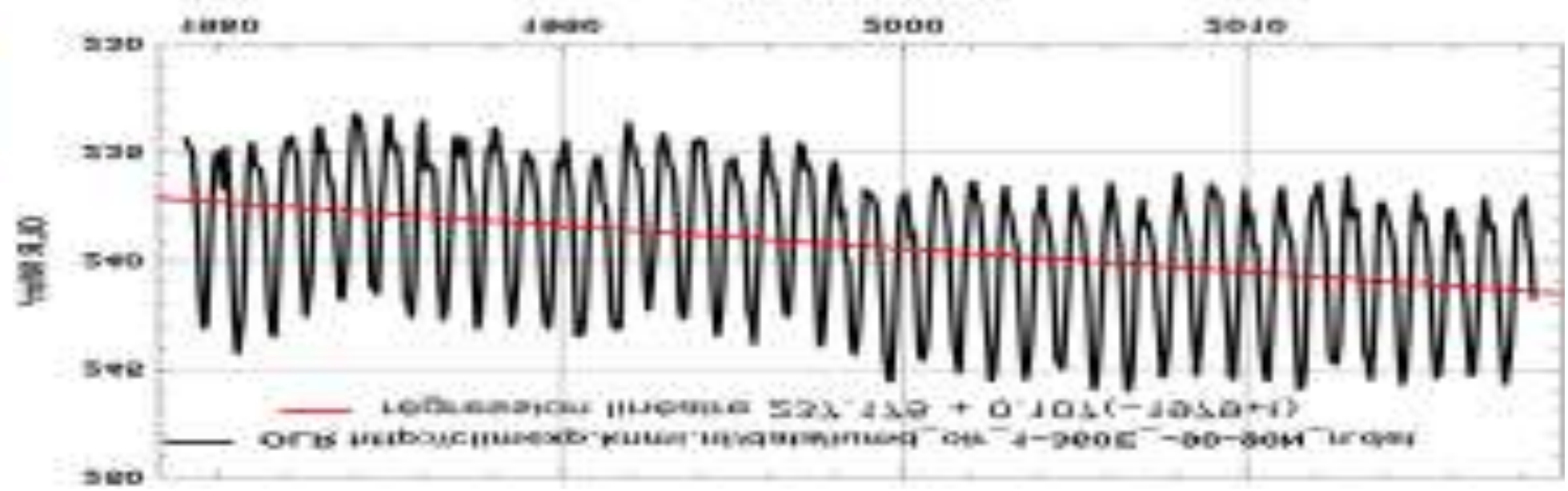
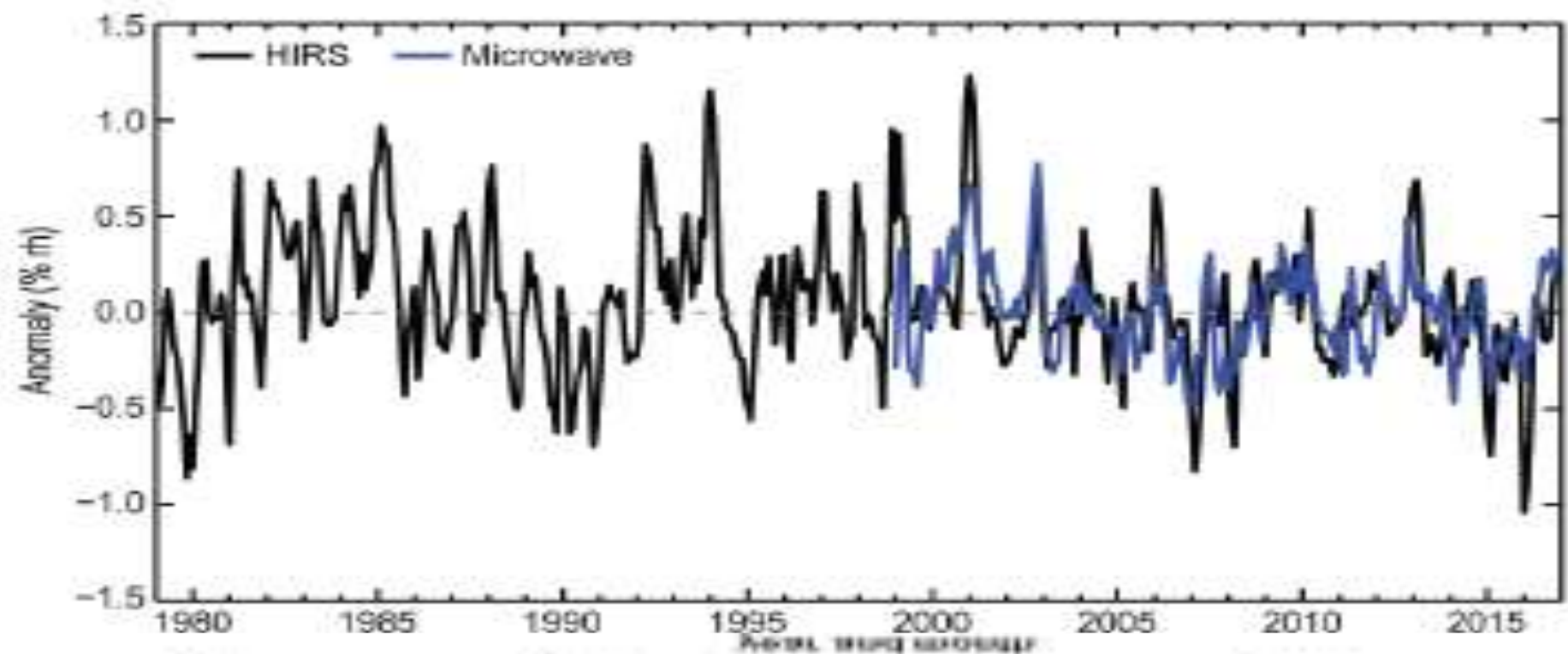
**Solar** from 75 THz (4  $\mu\text{m}$  IR) to 1500 THz (0,2  $\mu\text{m}$  UV) **Visible** from 430 THz (0,7  $\mu\text{m}$ , rouge) to 790 THz (0,38  $\mu\text{m}$ , violet)

Transfert of heat by exchange of thermal radiation from A to B : as between bank accounts  
**Emitted by A and absorbed by B minus Emitted by B and absorbed by A**

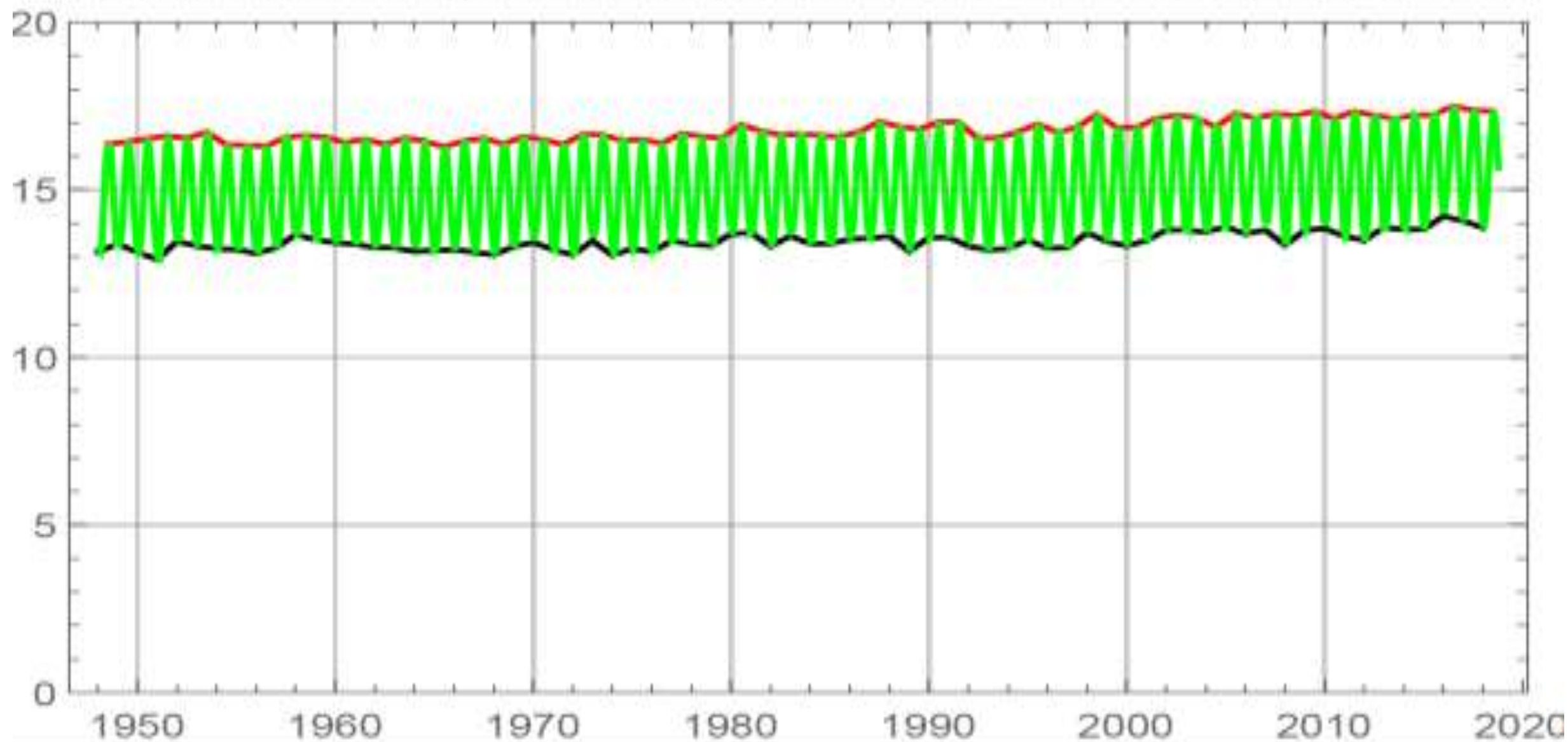
# How did IPCC manufacture a curve of emissions related to °C



Averaging over 10 years: 1980-1989 = «1990», 1990-1999 = «2000» the cooling from volcanic eruptions converted into CO warming !!!



Température moyenne mondiale, réanalyse NOAA 1948–2018

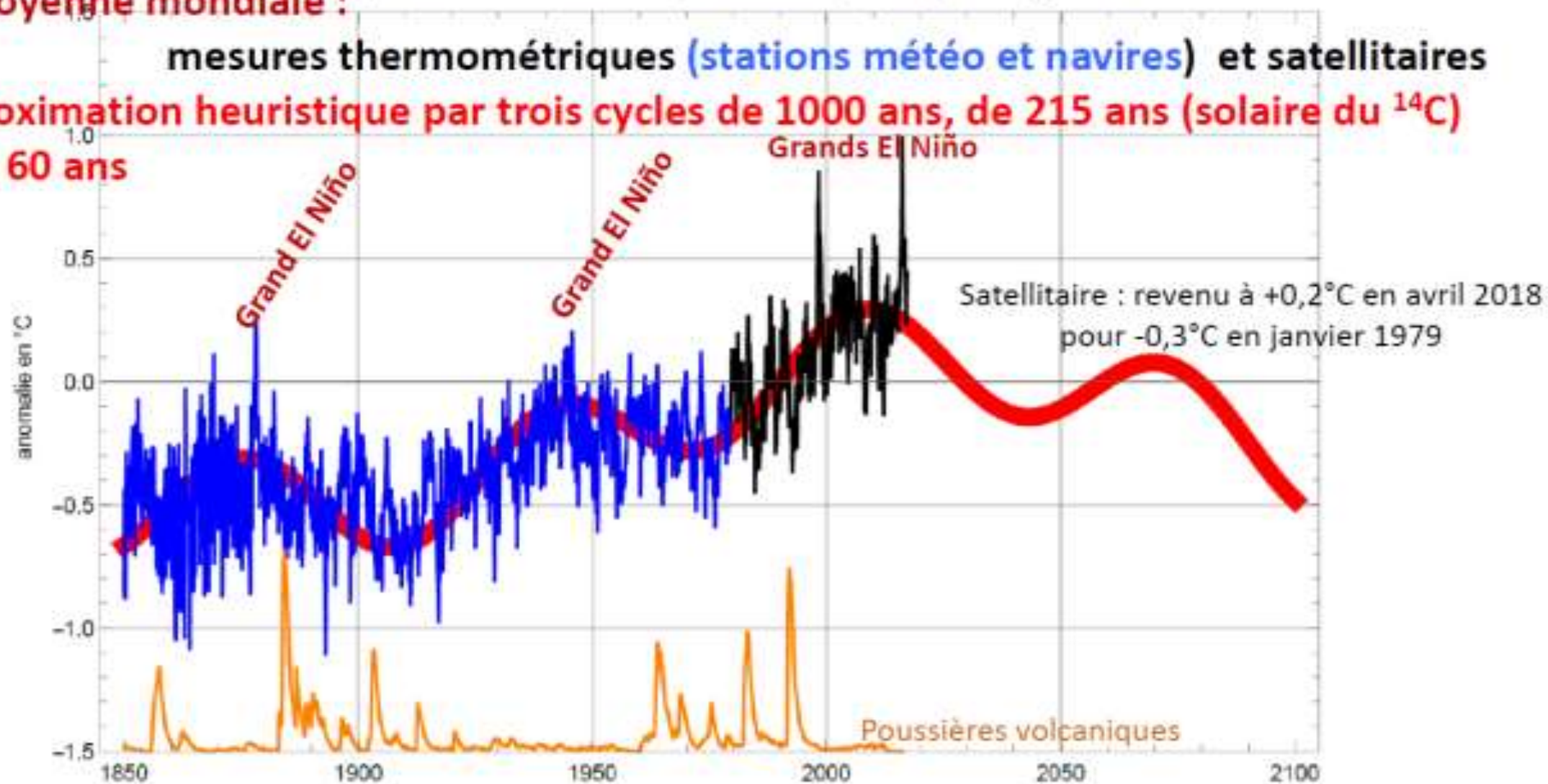


courbe HadleyClimate R.U. 1850-1979, RSS-MSU (satellite), en rouge 3 sinusoides

**En moyenne mondiale :**

**mesures thermométriques (stations météo et navires) et satellitaires**

**Approximation heuristique par trois cycles de 1000 ans, de 215 ans (solaire du  $^{14}C$ ) et de 60 ans**



GIEC, 2013, résumé pour décideurs : " il est extrêmement probable que l'influence de l'homme soit la cause principale du réchauffement observé depuis le milieu du XXème siècle "

Réalité : 1910-1950 émissions anthropiques négligeables ; refroidissement de 1945 à 1975 ; ne reste donc que 1980 – 2018